

# **MICROWAVE ENGINEERING**

**Prof. Gentili G.G.**  
**A.A. 2023/24**

**Burattini Michelangelo**

# Microwaves

MICROWAVE  $\rightarrow$  300 MHz  $\div$  300 GHz (1 m  $\div$  1 mm)

e sono usate nelle telecomunicazioni, nel mining e nei radar

$\rightarrow$  lo scopo del corso e' quello di analizzare e progettare dispositivi e circuiti

partirvi per le microonde



circuiti di matching

linee di trasmissione

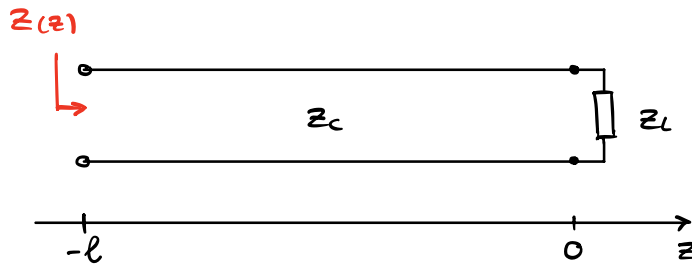
guide d'onda

coupler e filtri

Prima di introdurre nuovi concetti facciamo una review di tutto quello visto in altri corsi e che viene dato per scontato

## REVIEW

consideriamo la seguente linea di trasmissione:



e' una convenzione

ho che l'impedenza d'ingresso equivalente al punto  $z$  e':

$$Z(z) = Z_c \frac{Z_L - Z_c \tanh(\gamma z)}{Z_c - Z_L \tanh(\gamma z)}$$

ho che l'ammettanza d'ingresso equivalente al punto  $z$  e':

$$Y(z) = Y_c \frac{Y_L - Y_c \tanh(\gamma z)}{Y_c - Y_L \tanh(\gamma z)}$$

Definisco l' **INTENSITA' D'ONDA INCIDENTE** e l' **INTENSITA' D'ONDA RIFLESSA** come:

$$\begin{cases} a(z) = \frac{V_0^+}{\sqrt{Z_c}} e^{-\gamma z} & \text{incidente} \\ b(z) = \frac{V_0^-}{\sqrt{Z_c}} e^{\gamma z} & \text{riflessa} \end{cases}$$

e quindi anche il **COEFFICIENTE DI RIFLESSIONE**

$$\Gamma(z) = \frac{b(z)}{a(z)}$$

→ al carico eno vale  $\Gamma(0) = \Gamma_L = \frac{V_0^-}{V_0^+}$

→ posso scrivere che →

→ se conosco  $\Gamma(z_0)$  allora conosco  $\Gamma(z) \forall z$

$$\Gamma(z) = \Gamma_L e^{2\gamma z}$$

Alcune equazioni utili che si ricavano:

$$Z(z) = Z_c \frac{1 + \Gamma(z)}{1 - \Gamma(z)}$$

$$\Gamma_L = \frac{Z_L - Z_c}{Z_L + Z_c} = -\frac{Y_L - Y_c}{Y_L + Y_c}$$

**N.B.:** • lui considera solo la parte immaginaria della **COSTANTE DI PROPAGAZIONE**

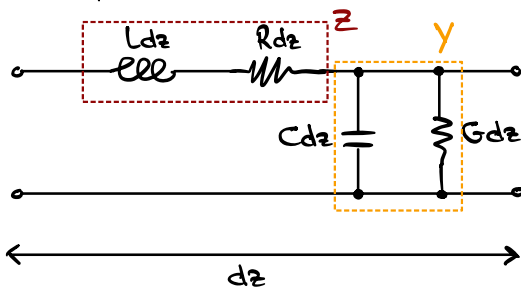
$$\gamma = \alpha + j\beta$$

↙ costante di fase  
↘ costante di attenuazione

$$\gamma = \sqrt{ZY} \text{ della linea}$$

↙  $Z = R + j\omega L$  ↘  $Y = G + j\omega C$

Una linea puo' essere descritta tramite un **modello a parametri distribuiti**:



$$\alpha = \alpha_c + \alpha_d$$

↙  $\alpha_c = \frac{R}{2Z_c}$  ↘  $\alpha_d = \frac{GZ_c}{2}$

$$Z_c = \sqrt{\frac{Z}{Y}} \text{ IMPEDENZA CARATTERISTICA}$$

e per tale linea e' possibile ricavare le **EQUAZIONI DEI TELEGRAFISTI**

$$\begin{cases} \frac{dV}{dz} = -ZI \\ \frac{dI}{dz} = -YV \end{cases}$$

la cui soluzione e'

$$\begin{cases} V(z) = \underbrace{V_0^+ e^{-\sqrt{ZY} \cdot z}}_{\text{componente progressiva}} + \underbrace{V_0^- e^{\sqrt{ZY} \cdot z}}_{\text{componente regressiva}} \\ I(z) = V_0^+ \frac{\sqrt{ZY}}{Z} e^{-\sqrt{ZY} \cdot z} - V_0^- \frac{\sqrt{ZY}}{Z} e^{\sqrt{ZY} \cdot z} \end{cases}$$

le due costanti  $V_0^+$  e  $V_0^-$  si trovano imponendo le condizioni di alimentazione e di carico

Se la linea e' a basse perdite ho che  $\alpha \approx 0$  e  $\beta \approx \omega \sqrt{LC}$  (trascurio R e G).

Se la linea presenta delle basse perdite (**low losses**) allora ho che parte della potenza trasmessa dall'onda viene dissipata; in questo caso il modello e' il seguente

$$\gamma = \alpha + j\beta \quad \text{con } \alpha \neq 0 \quad \wedge \quad \alpha = \alpha_c + \alpha_d$$

$$\alpha_c = \frac{R}{2Z_c} \quad \alpha_d = G \frac{Z_c}{2}$$

questo deriva da:  $\gamma = \sqrt{(R+j\omega L)(G+j\omega C)}$  ammettendo che per basse perdite

$$R \ll \omega L \quad \text{e} \quad G \ll \omega C$$

$$\Rightarrow RG \ll \omega^2 LC$$

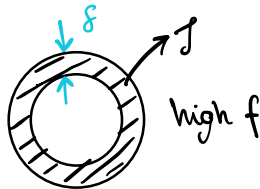
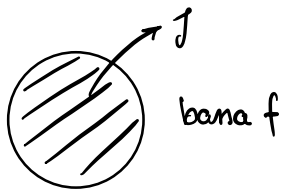
$$\begin{aligned} & \approx j\omega \sqrt{LC} \sqrt{1 - j\left(\frac{R}{\omega L} + \frac{G}{\omega C}\right)} \\ \text{(Taylor)} & \approx j\omega \sqrt{LC} \left[1 - \frac{1}{2} j\left(\frac{R}{\omega L} + \frac{G}{\omega C}\right)\right] \end{aligned}$$

da cui ricavo  $\alpha$  e  $\beta$ :

$$\begin{cases} \alpha \approx \frac{1}{2} (R \sqrt{\frac{C}{L}} + G \sqrt{\frac{L}{C}}) \\ \beta \approx \omega \sqrt{LC} \end{cases} \rightarrow \alpha \approx \frac{1}{2} \left( \frac{R}{Z_c} + G Z_c \right) = \alpha_c + \alpha_d$$

### EFFETTO PELLE

Una linea e' caratterizzata ad alta frequenza dall' **EFFETTO PELLE**



$$\delta = \sqrt{\frac{2}{\omega \mu \sigma}} \quad \text{SKIN DEPTH}$$

→ per le microonde, solo una piccola parte del conduttore e' soggetto al ricambio della corrente e quindi e' necessario solo un sottile strato di esso per formare i componenti.

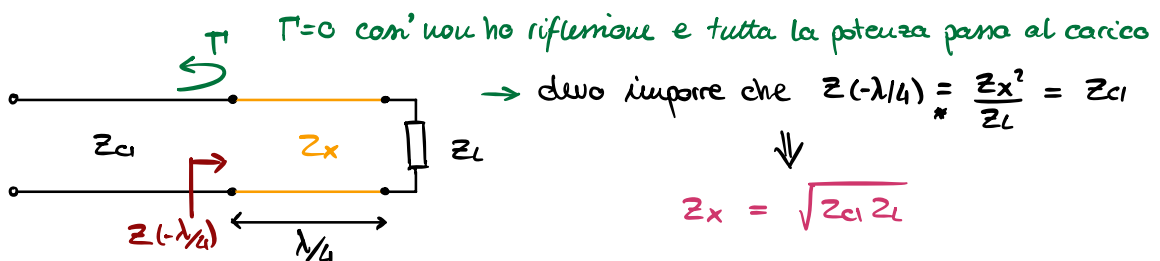
- $\sigma$ :
- 1) Argento  $6,1 \cdot 10^7 \text{ Sm}^{-1} \rightarrow @10\text{GHz} \quad \delta = 640 \text{ nm}$
  - 2) Rame  $5,8 \cdot 10^7 \text{ Sm}^{-1} \rightarrow @10\text{GHz} \quad \delta = 660 \text{ nm}$
  - 3) Oro  $4,1 \cdot 10^7 \text{ Sm}^{-1} \rightarrow @10\text{GHz} \quad \delta = 786 \text{ nm}$

⇒ ho una resistenza che aumenta all'aumentare della frequenza

$$R_{\text{tot}} = \frac{2}{\sigma} \frac{dz}{2\pi a \delta} \Rightarrow R = \frac{1}{\sigma \delta} \frac{1}{\pi a}$$

⇒ la resistenza di superficie e'  $R_s = \frac{1}{\sigma \delta} \text{ } [\Omega]$

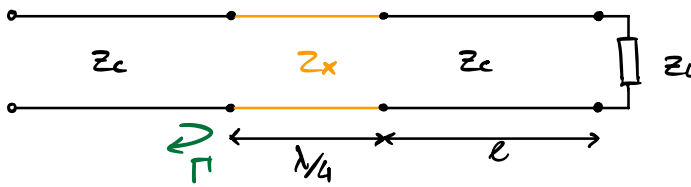
### ADATTATORE A $\lambda/4$



→ e' un adattatore completo se e solo se:

- linea a monte priva di perdite  $Z_c = R_c$
- carico puramente resistivo  $Z_L = R_L$

$$R_x = \sqrt{R_c R_L} \quad \forall R_c, R_L$$



$$Z_x = \sqrt{Z_c \cdot Z_L}$$

$$* Z(-\lambda/4) = Z_x \frac{Z_L + jZ_x \tan \beta l}{Z_x + jZ_L \tan \beta l} \quad \wedge \quad \beta l = \frac{\pi}{2}$$

## TABELLA RIASSUNTIVA

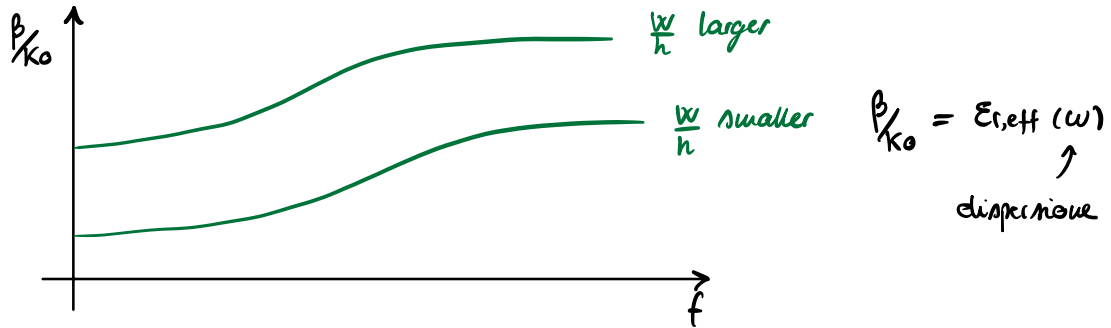
Quantity	Type of Medium		
	Lossless ( $\epsilon'' = \sigma = 0$ )	General Lossy	Good Conductor ( $\epsilon'' \gg \epsilon'$ or $\sigma \gg \omega \epsilon'$ )
Complex propagation constant	$\gamma = j\omega\sqrt{\mu\epsilon}$	$\gamma = j\omega\sqrt{\mu\epsilon}$ $= j\omega\sqrt{\mu\epsilon'} \sqrt{1 - j\frac{\sigma}{\omega\epsilon'}}$	$\gamma = (1 + j)\sqrt{\omega\mu\sigma/2}$
Phase constant (wave number)	$\beta = k = \omega\sqrt{\mu\epsilon}$	$\beta = \text{Im}\{\gamma\}$	$\beta = \text{Im}\{\gamma\} = \sqrt{\omega\mu\sigma/2}$
Attenuation constant	$\alpha = 0$	$\alpha = \text{Re}\{\gamma\}$	$\alpha = \text{Re}\{\gamma\} = \sqrt{\omega\mu\sigma/2}$
Impedance	$\eta = \sqrt{\mu/\epsilon} = \omega\mu/k$	$\eta = j\omega\mu/\gamma$	$\eta = (1 + j)\sqrt{\omega\mu/2\sigma}$
Skin depth	$\delta_s = \infty$	$\delta_s = 1/\alpha$	$\delta_s = \sqrt{2/\omega\mu\sigma}$
Wavelength	$\lambda = 2\pi/\beta$	$\lambda = 2\pi/\beta$	$\lambda = 2\pi/\beta$
Phase velocity	$v_p = \omega/\beta$	$v_p = \omega/\beta$	$v_p = \omega/\beta$



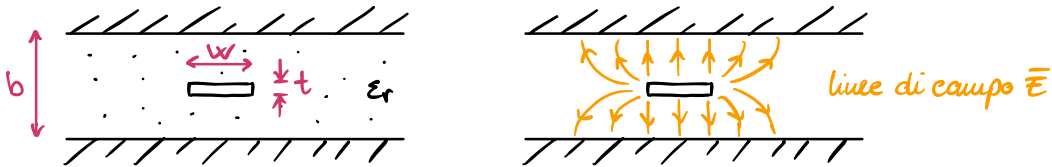
e posso ricavare l'impedenza, ponendo  $\eta = \frac{M_0}{\sqrt{\epsilon_{\text{eff}}}}$

$$Z_c = \begin{cases} \frac{M_0}{2\pi} \ln\left(8 \frac{h}{w} + \frac{w}{4h}\right) & \text{se } \frac{w}{h} \leq 1 \\ \eta \left[ \frac{w}{h} + 1,393 + 0,667 \ln\left(\frac{w}{h} + 1,444\right) \right]^{-1} & \text{se } \frac{w}{h} > 1 \end{cases}$$

di solito ho che  $20 < Z_c < 200 \text{ } [\Omega]$  e l'andamento e' il seguente:



### Δ STRIPLINE



il mezzo in questo caso e' omogeneo  $\Rightarrow$  **linea TEM** e quindi posso ricavarci:

$$v_p = \frac{c}{\sqrt{\epsilon_r}}$$

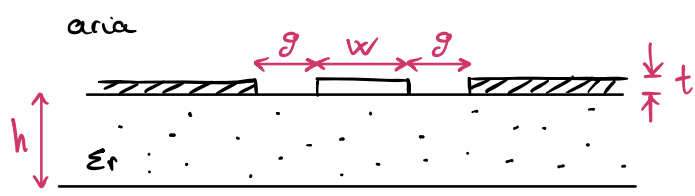
$$\beta = \frac{\omega}{v_p} = \omega \sqrt{\mu_0 \epsilon_0 \epsilon_r}$$

$Z_c = \sqrt{\frac{L}{C}} = \frac{\sqrt{LC}}{c} = \frac{1}{v_p C}$  e ricavando L e C in funzione della geometria della linea posso scrivere che:

$$Z_c = \frac{30\pi}{\sqrt{\epsilon_r}} \frac{b}{w_e + 0,441b}$$

dove  $w_e$  e' la **larghezza effettiva**  $w_e = w - \begin{cases} 0 & \text{se } w/b \geq 0,35 \\ (0,35 - \frac{w}{b})^2 b & \text{se } w/b < 0,35 \end{cases}$

## Δ COPLANAR WAVEGUIDE



→ i due conduttori di ground sono idealmente comuni

→ la linea non è omogenea ⇒ **linea quasi-TEM**

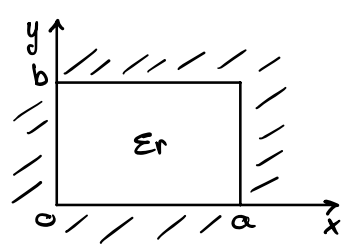
possiamo semplificare ponendo  $t \rightarrow 0$  e  $h \rightarrow +\infty$  ⇒  $\epsilon_{r,eff} = \frac{1 + \epsilon_r}{2}$

$$Z_c = \frac{\pi \mu_0}{4 \sqrt{\epsilon_{r,eff}}} [0,69 + 2 \operatorname{arctanh} \sqrt{\frac{w}{d}}]^{-1}$$

$d = w + 2g$  e' la distanza fra i due conduttori di ground

$Z_c$  è compresa in un range di  $20 < Z_c < 150$  [ $\Omega$ ], mentre nel caso in cui le due strisce sono asimmetriche possono arrivare fino a 350 [ $\Omega$ ]

## Δ RECTANGULAR WAVEGUIDE



è stata una delle prime guide d'onda per le microonde (1 ÷ 122 GHz)

→ permette la propagazione di modi TE, TM ma non modi TEM perché è presente **un solo conduttore**

$a > b$  per convenzione (altrimenti inverti gli assi)

Le guide d'onda TE hanno  $E_z = 0$ , mentre  $H_z$  deve soddisfare l'equazione delle onde ridotta:

$$\left( \frac{\partial^2}{\partial x^2} + \frac{\partial^2}{\partial y^2} + kc^2 \right) H_z(x,y) = 0$$

per cui ottengo una soluzione generica del tipo:

$$H_z(x,y) = (A \cos k_x x + B \sin k_x x)(C \cos k_y y + D \sin k_y y)$$

imponendo le condizioni al contorno e svolgendo i calcoli ottengo:

$$\left. \begin{array}{l} E_x(x, y=0) = 0 \\ E_y(x=0, y) = 0 \end{array} \right\} \Rightarrow \left\{ \begin{array}{l} D = 0 \wedge k_y = n \frac{\pi}{b} \\ B = 0 \wedge k_x = m \frac{\pi}{a} \end{array} \right.$$

la soluzione finale raccogliendo una costante e':

$$H_z(x,y,z) = A_{mn} \cos \frac{m\pi x}{a} \cos \frac{n\pi y}{b} e^{-j\beta z}$$

dove m e n definiscono il **modo TE<sub>mn</sub>**; la costante di propagazione (in assenza di perdite) e':

$$\beta = \sqrt{k^2 - \left(\frac{m\pi}{a}\right)^2 - \left(\frac{n\pi}{b}\right)^2}$$

$$= \sqrt{k^2 - k_c^2} \Rightarrow k_c = \sqrt{\left(\frac{m\pi}{a}\right)^2 + \left(\frac{n\pi}{b}\right)^2}$$

e quindi ogni modo TE ha una propria frequenza di taglio:

$$f_{c,mn} = \frac{k_c}{2\pi \sqrt{\mu\epsilon}}$$

il modo dominante e' quello con la frequenza di taglio piu' bassa TE<sub>10</sub> (a > b)

$$f_{c,10} = \frac{1}{2a \sqrt{\mu\epsilon}} \quad \text{perche' } k_{c,10} = \frac{\pi}{a}$$

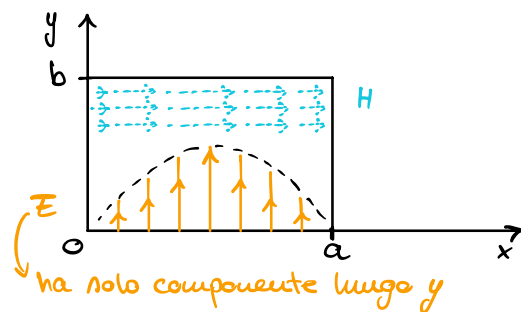
in questo caso ho che:

$$H_z = A_{10} \cos\left(\frac{\pi x}{a}\right) e^{-j\beta z}$$

$$E_y = -j \frac{\omega \mu a}{\pi} A_{10} \sin\left(\frac{\pi x}{a}\right) e^{-j\beta z}$$

$$H_x = j \frac{\beta a}{\pi} A_{10} \sin\left(\frac{\pi x}{a}\right) e^{-j\beta z}$$

$$E_x = H_y = E_z = 0$$

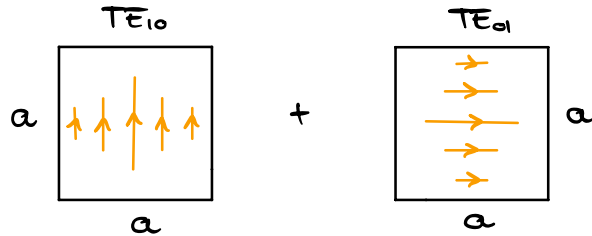


→ e' usata per sistemi a frequenza molto alta e con bassissime perdite

→ la stessa analisi puo' essere ripetuta per i modi TM<sub>mn</sub>

## Δ SQUARE WAVEGUIDE

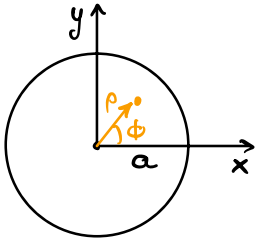
la posso vedere come la sovrapposizione di due sistemi polarizzati  $TE_{10} + TE_{01}$



$$f_{c,10,01} = \frac{v}{2a} \quad (k_c = \frac{\pi}{a})$$

$$f_{c,mnp} = \sqrt{2} \frac{v}{2a} \quad (TE_{11}, TM_{11})$$

## Δ CIRCULAR WAVEGUIDE



anche in questo caso ho che per i modi TE  
 $E_z = 0$  e  $H_z$  e' soluzione di

$$\nabla^2 H_z + k^2 H_z = 0$$

che risolve in coordinate cilindriche e  
 supponendo  $H_z(\rho, \phi) = R(\rho) P(\phi)$

→ le soluzioni generiche sono:

$$P(\phi) = A \sin n\phi + B \cos n\phi$$

$$R(\rho) = C J_n(k_c \rho) + D Y_n(k_c \rho)$$

funzioni di Bessel del primo e del secondo tipo di ordine  $n$

poiche  $Y_n \xrightarrow{\rho \rightarrow 0} +\infty$  non e' accettabile per una guida d'onda circolare  $\Rightarrow D = 0$  e ho:

$$H_z(\rho, \phi) = (A \sin n\phi + B \cos n\phi) J_n(k_c \rho)$$

le condizioni al contorno sono  $E(\rho=a, \phi) = 0$  e quindi:

$$E(\rho, \phi, z) = j \frac{\omega \mu}{k_c} (A \sin n\phi + B \cos n\phi) J_n'(k_c \rho) e^{-j\beta z}$$

affinche' sia rispettata la condizione al contorno in  $\rho=a$  devo avere che la derivata  $J'(ka) = 0$  e questo e' vero per  $m$  radici di  $J'(x)$

$$\Rightarrow \boxed{k_{cnm} = \frac{p'_{nm}}{a}}$$

↓  
raggio  $R=a$

$n$	$p'_{n1}$	$p'_{n2}$	$p'_{n3}$
0	3.832	7.016	10.174
1	<u>1.841</u> TM <sub>11</sub>	5.331	8.536
2	3.054	6.706	9.970

$$\Rightarrow \beta_{nm} = \sqrt{k^2 - \left(\frac{p'_{nm}}{a}\right)^2}$$

$$\Rightarrow f_{cnm} = \frac{p'_{nm}}{2\pi a \sqrt{\mu\epsilon}}$$

### Calcolo del modo TE<sub>11</sub>

modi TE:  $\bar{E}_t, \bar{H}_t, \bar{H}_z$  }  $e^{-\gamma z} \overset{\text{no perdite}}{=} e^{-j\beta z}$

$$\gamma = \sqrt{k_c^2 - k^2} \quad k = k_c \text{ @ } f_c \quad (\gamma=0 \wedge \beta=0)$$

↑ autovalori del modo      ↑ numero d'onda

$$\begin{cases} \nabla \times \bar{E} = -j\omega\mu\bar{H} \\ \nabla \times \bar{H} = j\omega\epsilon\bar{E} \end{cases} \longrightarrow \nabla \times \nabla \times \bar{H} = j\omega\epsilon \nabla \times \bar{E} = \underbrace{j\omega\epsilon (-j\omega\mu)}_{k^2} \bar{H}$$

$$\nabla = \hat{x} \partial_x + \hat{y} \partial_y + \cancel{\hat{z} \partial_z} = \nabla_t$$

$$\Rightarrow \boxed{\nabla \times \nabla \times \bar{H} - k_c^2 \bar{H} = 0} \text{ e' l'equazione che voglio risolvere}$$

so che  $\bar{H} = \bar{H}_t + \bar{H}_z$

$$\Rightarrow \nabla_t \times \nabla_t \times (\bar{H}_t + \bar{H}_z) - k_c^2 (\bar{H}_t + \bar{H}_z) = 0$$

$$\underbrace{\nabla_t \times \nabla_t \times \bar{H}_t}_z + \underbrace{\nabla_t \times \nabla_t \times \bar{H}_z}_t - \underbrace{k_c^2 \bar{H}_t}_t - \underbrace{k_c^2 \bar{H}_z}_z = 0$$

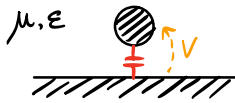
$$\Rightarrow \begin{cases} \nabla_t \times \nabla_t \times \bar{H}_z - k_c^2 \bar{H}_t = 0 \\ \nabla_t \times \nabla_t \times \bar{H}_t - k_c^2 \bar{H}_z = 0 \end{cases}$$

mi basta risolvere una di queste due...



# COUPLED LINES

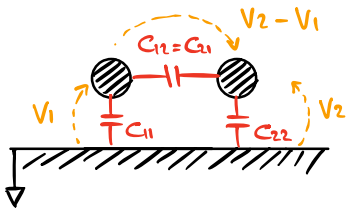
Single line  $\rightarrow$  caratterizzata da  $L, C$



$$LC = \mu\epsilon$$

$$Q = CV$$

coupled lines  $\rightarrow$  e' caratterizzata da  $\underline{L}$  e  $\underline{C}$  in forma matriciale (perche' ho piu' interazioni da descrivere, non solo quelle con il piano di ground)



$$\begin{cases} Q_1 = C_{11}' V_1 + C_{12}' (V_1 - V_2) = (C_{11}' + C_{12}') V_1 - C_{12}' V_2 \\ Q_2 = C_{22}' V_2 + C_{12}' (V_2 - V_1) = -C_{12}' V_1 + (C_{22}' + C_{12}') V_2 \end{cases} \Rightarrow \underline{Q} = \underline{C} \underline{V}$$

$$\underline{Q} = \underline{C} \underline{V}$$

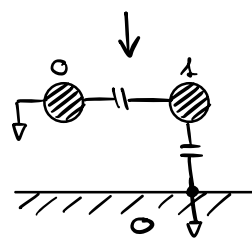
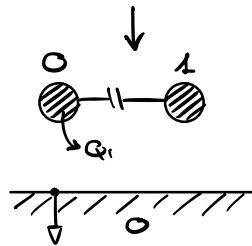
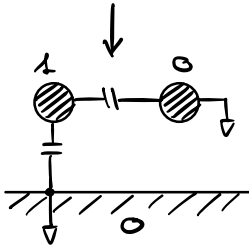
$$\underline{C} = \begin{pmatrix} C_{11}' + C_{12}' & -C_{12}' \\ -C_{12}' & C_{22}' + C_{12}' \end{pmatrix}$$

quindi ho che

$$\begin{cases} Q_1 = C_{11} V_1 + C_{12} V_2 \\ Q_2 = C_{12} V_1 + C_{22} V_2 \end{cases}$$

$$\Rightarrow \begin{cases} C_{11} = C_{11}' + C_{12}' \\ C_{12} = -C_{12}' \\ C_{22} = C_{22}' + C_{12}' \end{cases}$$

dove  $C_{11} = \frac{Q_1}{V_1} \Big|_{V_2=0}$ ,  $C_{12} = \frac{Q_1}{V_2} \Big|_{V_1=0}$  e  $C_{22} = \frac{Q_2}{V_2} \Big|_{V_1=0}$



pono distinguere

$$Z_{\text{even}} = \frac{1}{\sqrt{C_{\text{even}}}}$$

$$Z_{\text{odd}} = \frac{1}{\sqrt{C_{\text{odd}}}}$$

$$C_{\text{even}} = C_{11}'$$

$$C_{\text{odd}} = C_{11}' + 2C_{12}'$$

$\rightarrow$  meno sono accoppiate e

esempio: molto lontane



$$Z_{\text{even}} \approx Z_{\text{odd}}$$

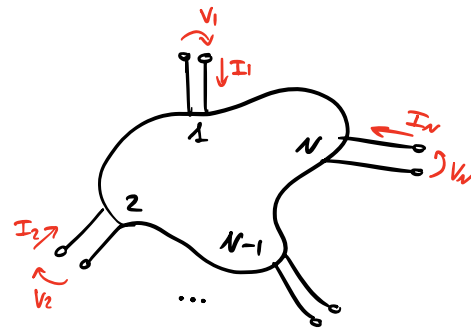
# MATRICI CIRCUITALI

## $\Delta Z$ e $Y$ MATRIX

per un circuito a  $N$  porte, la matrice d'impedenza (e di ammettenza) e'  $N \times N$  e gli elementi sono dati da

$$Z_{m,n} = \frac{V_m}{I_n} \Big|_{I_{k \neq n} = 0}$$

tutte le altre porte sono lasciate aperte



analogamente:

$$Z_{m,n} = \frac{I_m}{V_n} \Big|_{V_{k \neq n} = 0}$$

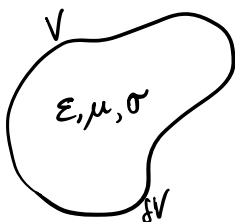
tutte le altre porte sono cortocircuitate

dispositivo a  $N$  porte

→ se il circuito e' **reciproco** allora le due matrici sono **simmetriche** e se il circuito e' **senza perdite** allora esse sono **immaginarie**

→ esse non esistono sempre, infatti per circuiti senza perdite hanno dei poli

**FISICAMENTE** ... consideriamo una regione  $V$  in cui iniettiamo una potenza media complessa pari  $P_0$  inducendo una corrente  $J_0$  all'interno di tale regione



$$P_0 = -\frac{1}{2} \int_V \mathbf{E} \cdot \mathbf{J}_0^* dV$$

energia elettrica →  $W_e = \frac{1}{4} \int_V \mathbf{E} \cdot \mathbf{D}^* dV = \frac{1}{4} \int_V \epsilon |\mathbf{E}|^2 dV$

energia magnetica →  $W_m = \frac{1}{4} \int_V \mathbf{H} \cdot \mathbf{B}^* dV = \frac{1}{4} \int_V \mu |\mathbf{H}|^2 dV$

potenza dissipata  $\rightarrow P_d = \frac{1}{2} \int_V \mathbf{E} \cdot \mathbf{J}^* dV = \frac{1}{2} \int_V \sigma |\mathbf{E}|^2 dV$

potenza che esce dal bordo  $\delta V \rightarrow P_r = \frac{1}{2} \oint_{\delta V} \mathbf{E} \times \mathbf{H}^* \cdot \hat{n} dS$

se consideriamo  $V$  largo abbastanza da includere tutto il campo reattivo, allora  $P_r$  e' reale e rappresenta la potenza irradiata; posso scrivere che

$$P_o = P_d + P_r + \underset{\substack{\uparrow \\ \text{Poynting}}}{2j\omega} (W_m - W_e)$$

definisco  $Z_{in} \mid \frac{1}{2} Z_{in} |I_o|^2 = \frac{1}{2} (R_{in} + jX_{in}) |I_o|^2 = P_o$

$\Rightarrow$   $Z_{in} = \frac{2P_d + 2P_r + 4j\omega(W_m - W_e)}{|I_o|^2}$  l'impedenza rappresenta la

reazione del circuito all'applicazione di uno stimolo (tramite una sorgente) e dipende dalla posizione in cui lo stimolo viene applicato

$\Rightarrow$  quindi dipende, come visto, dalla porta

Δ SCATTERING MATRIX

$\rightarrow$  esiste sempre

descrive il circuito in termini di onde (incidenti e riflesse) descritta a partire da due coefficienti in termini di potenza ( $a_n$  e  $b_n$ )

$\rightarrow$  potenza incidente  $\frac{1}{2} |a_n|^2$   
 $\rightarrow$  potenza riflessa  $\frac{1}{2} |b_n|^2$  } l'elemento della matrice di scattering e':

$S_{mn} = \frac{b_m}{a_n} \mid a_{i \neq n} = 0$

$\rightarrow$  i circuiti **reciproci** hanno una matrice di scattering **simmetrica** ( $S = S^T$ )

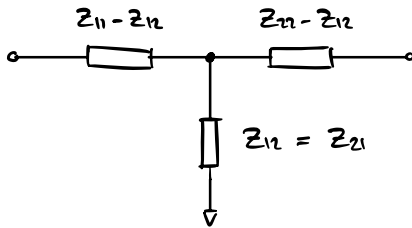
$\rightarrow$  i circuiti **senza perdite** hanno una matrice **unitaria**  $SS^\dagger = I$

dalla definizione ho che  $|S_{mn}|^2 = \frac{P_{risc. m}}{P_{inc. n}} \mid P_{inc. i \neq n} = 0$

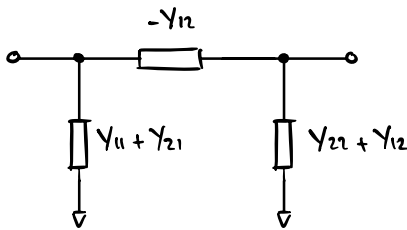
## CIRCUITI CON 2 PORTE

### Δ Z e Y MATRIX

li posso sempre descrivere in circuiti T-equivalenti e π-equivalenti:



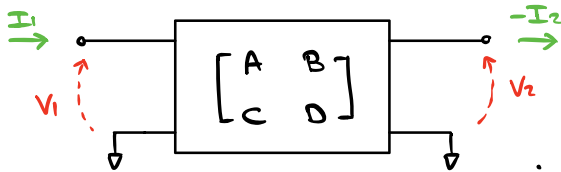
$$\underline{Z} = \begin{bmatrix} -jZ_c \cot \alpha \beta l & \frac{-jZ_c}{\sin \beta l} \\ \frac{-jZ_c}{\sin \beta l} & -jZ_c \cot \alpha \beta l \end{bmatrix}$$



$$\underline{Y} = \begin{bmatrix} -jY_c \cot \alpha \beta l & \frac{jY_c}{\sin \beta l} \\ \frac{jY_c}{\sin \beta l} & -jY_c \cot \alpha \beta l \end{bmatrix}$$

### Δ ABC MATRIX

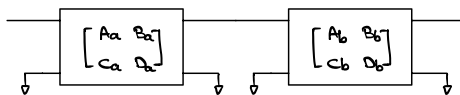
e' il nome della matrice di trasmissione che infatti indichiamo con T:



$$\begin{bmatrix} V_1 \\ I_1 \end{bmatrix} = \begin{bmatrix} A & B \\ C & D \end{bmatrix} \begin{bmatrix} V_2 \\ -I_2 \end{bmatrix}$$

i circuiti reciproci hanno  $\det T = AD - BC = 1$

→ A e D sono numeri puri, mentre B e' un'impedenza e C e' un'ammettenza



$$\underline{T} = \underline{T}_a \underline{T}_b$$

→ per una linea di trasmissione ( $l, Z_c$ ) ho:  $T = \begin{bmatrix} \cos \beta l & jZ_c \sin \beta l \\ jY_c \sin \beta l & \cos \beta l \end{bmatrix}$

# Δ SCATTERING MATRIX

nel caso di un dispositivo biporta senza perdite e reciproco ho che:

$$|S_{11}|^2 + |S_{21}|^2 = |S_{22}|^2 + |S_{12}|^2 = 1$$

↓

$$|S_{11}| = |S_{22}| \quad \text{e} \quad |S_{21}| = \sqrt{1 - |S_{11}|^2}$$

→ e' un bilancio energetico in termini di potenza (visto che il circuito e' senza perdite)

→ inoltre ho che  $S_{ij} = |S_{ij}| e^{j\phi_{ij}}$

⇒ (unitarieta')  $\phi_{12} = \phi_{21} = \frac{\phi_{11} + \phi_{22}}{2} + \frac{\pi}{2} + n\pi$

⇒ (simmetria)  $\phi_{11} - \phi_{12} = \pm \frac{\pi}{2}$

**LINEA DI TRASMISSIONE** lunga  $l$ , di impedenza caratteristica  $Z_c$  e cost. di prop.  $\beta$ :

$$\left. \begin{aligned} Z_c &= \frac{Z_c}{Z_R} \\ \Delta &= 1 - 2jZ_c \cot \alpha \beta l + Z_c^2 \end{aligned} \right\} \Rightarrow \underline{S} = \begin{bmatrix} Z_c^2 - 1 & \frac{-jZ_c}{\sin \beta l} \\ \frac{-jZ_c}{\sin \beta l} & Z_c^2 - 1 \end{bmatrix}$$

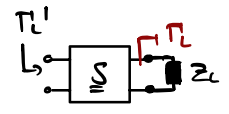
se  $Z_c = Z_R$  ho che  $Z_c = 1$

↓  
impedenza di riferimento

$$\underline{S} = \begin{bmatrix} 0 & e^{-j\beta l} \\ e^{-j\beta l} & 0 \end{bmatrix}$$

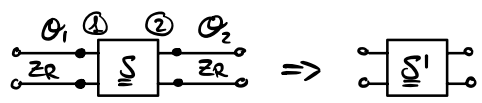
se mettiamo un carico sulla porta 2 con coefficiente di riflessione  $\Gamma_L$  ottengo

$$\Gamma_L' = S_{11} + \frac{S_{12}S_{21}\Gamma_L}{1 - S_{22}\Gamma_L}$$



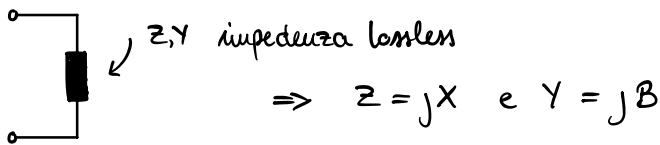
## SHIFT NEL REFERENCE PLANE

$$S_{mn}' = S_{mn} e^{j\theta_m} e^{-j\theta_n}$$



la matrice di scattering la posso misurare tramite un VNA (Vector Network Analyzer)

# RISONATORI



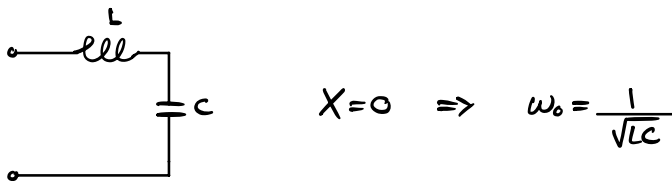
## CONDIZIONI DI RISONANZA

$$X = 0 \quad \text{oppure} \quad B = 0$$

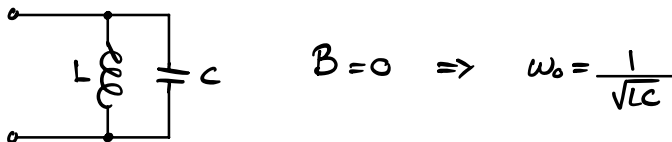
SERIES RESONANCE

PARALLEL RESONANCE

## RISONATORE IN SERIE



## RISONATORE IN PARALLELO



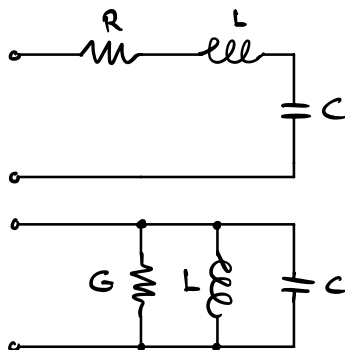
$$X = \frac{4\omega(W_m - W_e)}{|I|^2}$$

$$B = \frac{4\omega(W_e - W_m)}{|I|^2}$$

deriviamo subito che per avere risonanza devo avere la stessa quantità di energia elettrica e magnetica

$$W_m = W_e \quad @ \text{ RESONANCE}$$

Consideriamo ora le perdite :

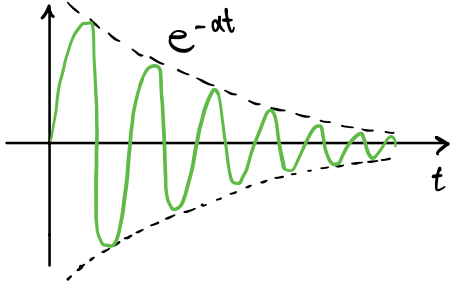


$P_d \rightarrow$  potenza dissipata su R o su G

$$Q = \frac{\omega_0 W}{P_d} \quad \text{QUALITY FACTOR}$$

$$= \frac{2\omega_0 W_m}{P_d} = \omega_0 \frac{L}{R} \quad (\text{series})$$

$$= \frac{2\omega_0 W_e}{P_d} = \omega_0 \frac{C}{G} \quad (\text{parallel})$$



→ frequenza di decrescita delle oscillazioni:

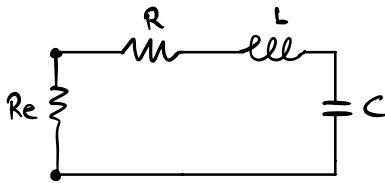
$$\alpha = \frac{\omega_0}{2Q}$$

$$\Rightarrow Z_s = R + j\omega L + \frac{1}{j\omega C} = R \left( 1 + j2Q \frac{\delta\omega}{\omega_0} \right)$$

$\delta\omega = \omega - \omega_0$  e' la variazione della freq. rispetto a quella ideale  $\omega_0$

$$\Rightarrow Z_p \approx R \left( 1 + j2Q \frac{\delta\omega}{\omega_0} \right)$$

Supponiamo ora di commettere una resistenza (conduttanza) esterna  $R_e$  ( $G_e$ ):



$Q_0 \xrightarrow{\text{ideale}} +\infty$  se  $R \rightarrow 0$

$Q_0 = \omega_0 \frac{L}{R}$  senza carico

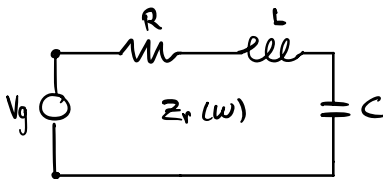
$Q_e = \omega_0 \frac{L}{R_e}$  del carico

$$\Downarrow$$

$$Q_{\text{tot}} = \frac{\omega_0 L}{R + R_e} = \frac{1}{1/Q_0 + 1/Q_e}$$

per il parallelo vale la stessa cosa:  $Q_{\text{tot}} = \frac{\omega_0 C}{G + G_e} = \frac{1}{1/Q_0 + 1/Q_e}$

Consideriamo ora il risonatore connesso a un generatore di tensione ideale  $V_g$

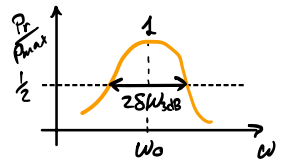


la potenza assorbita dal risonatore e':

$$P_r = \frac{1}{2} \operatorname{Re}\{Z_r\} |I|^2 = \frac{1}{2} R \left| \frac{V_g}{Z_r} \right|^2$$

che ha un massimo in:

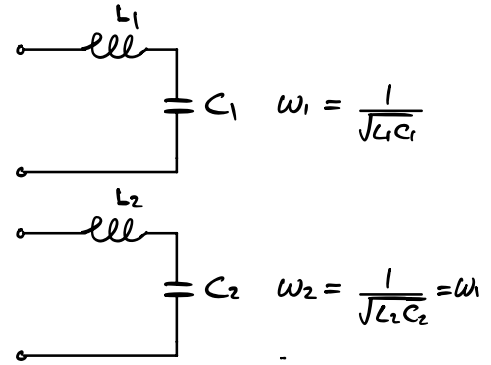
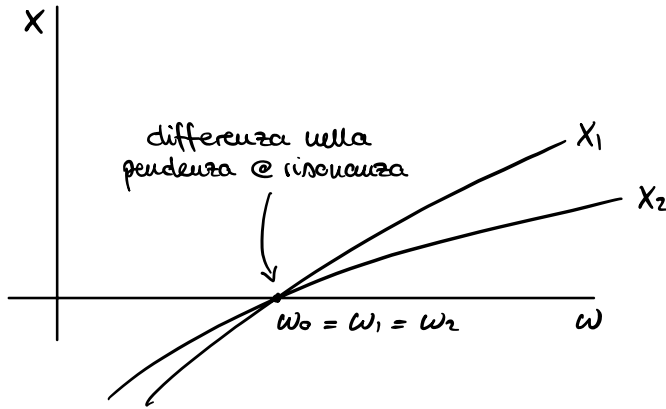
$$P_{\text{max}} = \frac{1}{2} R \left| \frac{V_g}{R} \right|^2$$



$$\frac{P_r}{P_{\text{max}}} = \frac{R^2}{|Z_r|^2} \stackrel{\text{impedance}}{\downarrow} = \frac{1}{2} \Leftrightarrow 4Q^2 \left( \frac{\delta\omega}{\omega_0} \right)^2 = 1 \Rightarrow \text{derivo} \left\{ \right.$$

$$\left. \frac{\delta\omega}{\omega_0} \Big|_{3\text{dB}} = \frac{\omega_0}{2Q} \right.$$

$$\left. Q = \frac{\omega_0}{2 \delta\omega \Big|_{3\text{dB}}} \right.$$



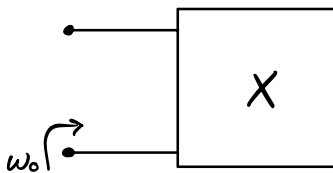
$$L = \frac{1}{Z} \left. \frac{dX}{d\omega} \right|_{\omega_0}$$

$$C = \frac{1}{Z} \left. \frac{dB}{d\omega} \right|_{\omega_0}$$

→ per identificare un risonatore bastano:

$$\{L, C\}$$

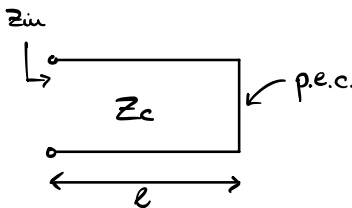
$$\{\omega_0, \text{pendenza} |_{\omega_0}\}$$



$\left. \frac{dX}{d\omega} \right|_{\omega_0} = L \rightarrow$  vicino alla risonanza ( $\approx \omega_0$ ) X si comporta come un series resonator con pendenza L e freq. di risonanza  $\omega_0$

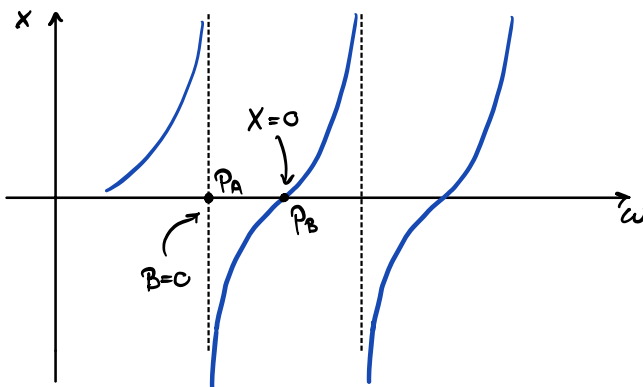
### TRANSMISSION LINE RESONATOR

#### • SHORT-CIRCUITED



$$Z_{in} = jX$$

$$X = Z_c \tan \beta l = Z_c \tan\left(\frac{\omega l}{v}\right)$$



$$\text{@ } P_A \quad \frac{\omega l}{v} = \frac{\pi}{2} \Rightarrow \omega_A = \frac{\sqrt{\pi}}{2l}$$

$$\lambda_A = \frac{v}{\omega_A} \cdot 2\pi$$

$$\frac{\sqrt{2\pi}}{\lambda_A} = \frac{\sqrt{\pi}}{2l} \Rightarrow l = \frac{\lambda_A}{4}$$

ni comporta come un // resonator

@ PB ni comporta come un series resonator

$$B = -Y_c \cot \alpha \beta l$$

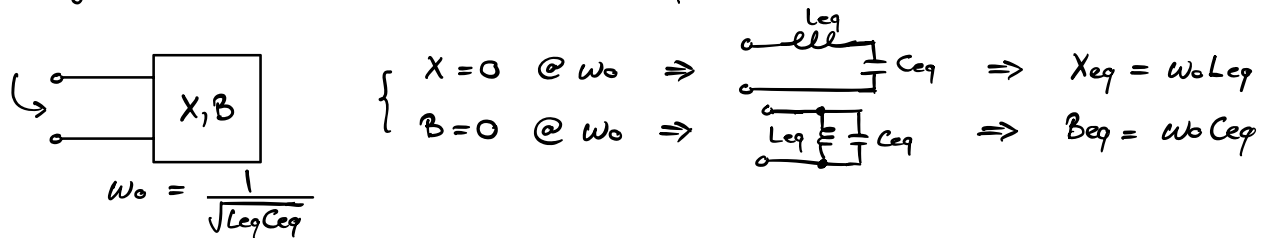
$$\frac{dB}{d\omega} = \frac{Y_c}{\sin^2 \beta l} \frac{d(\beta l)}{d\omega} = \frac{l Y_c}{v \sin^2 \beta l}$$

@ RESONANCE,  $\sin^2 \beta l = 1 \Rightarrow$  
$$C_A = \frac{1}{Z} \left. \frac{dB}{d\omega} \right|_{\omega_A} = \frac{Y_c l}{2v} = \frac{Y_c}{8f_A} = \frac{\pi Y_c}{4\omega_A}$$

e' la capacita' equivalente del risuonatore

analogo posso fare per l'induttanza @ RESONANCE 
$$L = \frac{1}{Z} \left. \frac{dX}{d\omega} \right|_{\omega_B} = \frac{\pi Z_c}{2\omega_B}$$

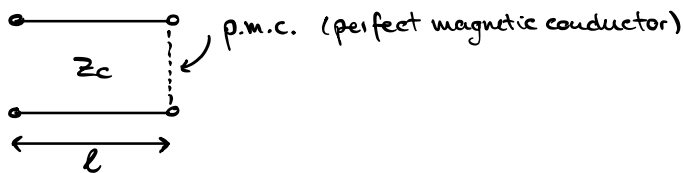
Piu' generalmente, considerando anche i punti di lavoro successivi ho che:



- se  $l$  e' un multiplo dispari di  $\frac{\lambda}{4}$ :  $l = \frac{\lambda}{4} (1+2n) \Rightarrow B_{eq} = (1+2n) \frac{\pi}{4} Y_c$

- se  $l$  e' un multiplo di  $\frac{\lambda}{2}$ :  $l = n \frac{\lambda}{2} \Rightarrow X_{eq} = n \frac{\pi}{2} Z_c$

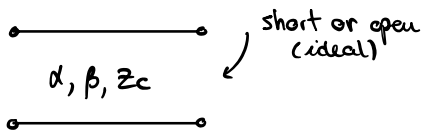
#### • OPEN-CIRCUITED



-  $l = (1+2n) \frac{\lambda}{4} \Rightarrow$  
$$L_{eq} = (1+2n) \frac{\pi Z_c}{4\omega_0} \Rightarrow X_{eq} = (1+2n) \frac{\pi}{4} Z_c$$

-  $l = n \frac{\lambda}{2} \Rightarrow$  
$$C_{eq} = \frac{n\pi Y_c}{2\omega_0} \Rightarrow B_{eq} = n \frac{\pi}{2} Y_c$$

UNLOADED- Q



$\alpha \ll \beta$     $\alpha = \alpha_c + \alpha_d$    dove  $\begin{cases} \alpha_c = \frac{R_u}{2Z_c} \\ \alpha_d = \frac{G_u Z_c}{2} \end{cases}$

$W_m = \frac{1}{2} L_u \int |I(z)|^2 dz$    dove    $L_u =$  induttanza per unita' di lunghezza

$P_d = \frac{1}{2} R_u \int |I(z)|^2 dz$    dove    $R_u =$  resistenza per unita' di lunghezza

$\Rightarrow Q_c = \frac{2\omega_0 W_m}{P_d} = \omega_0 \frac{L_u}{R_u} = \frac{\beta}{2\alpha_c} \rightarrow \omega_0 \sqrt{L_u C_u}$

facendo analogo per la parte di  $\alpha_d$ :

$W_e = \frac{1}{4} C_u \int |V(z)|^2 dz$    dove    $C_u =$  capacita' per unita' di lunghezza

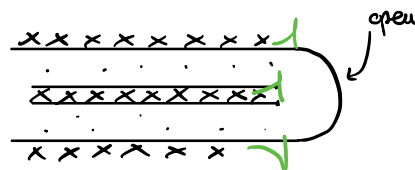
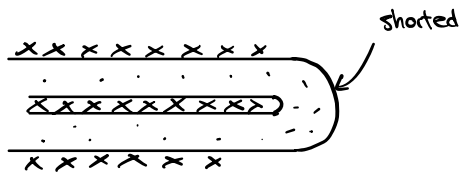
$P_d = \frac{1}{2} G_u \int |V(z)|^2 dz$    dove    $G_u =$  conduttanza per unita' di lunghezza

$\Rightarrow Q_d = \frac{\beta}{2\alpha_d}$

otengo com' che senza carico

$$Q = \frac{1}{\frac{1}{Q_c} + \frac{1}{Q_d}} = \frac{\beta}{2(\alpha_c + \alpha_d)} = \frac{\beta}{2\alpha}$$

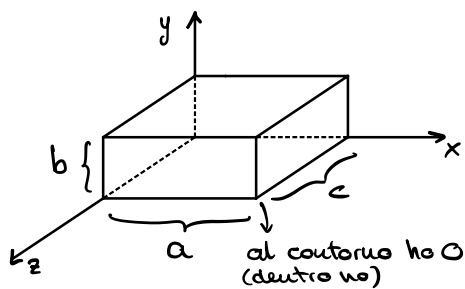
Se voglio usare una linea TX come risonatore devo avere un Q in assenza di carico che obbedisce a questa relazione



$Q = 50 \div 300$

cavity waveguide  $\rightarrow Q \approx 20000$

## CAVITA' A PARALLELEPIPEDO (RETTANGOLARE)



al contorno  $h_0 = 0$   
(dentro  $h_0$ )

$m, n, p = 0, 1, 2, \dots$  ma  $(m, n, p) \neq (0, 0, 0)$   
non e' accettabile  
non e' un modo!

↓  
rappresentano gli autovalori:

$$k_{mnp} = \sqrt{\left(\frac{m\pi}{a}\right)^2 + \left(\frac{n\pi}{b}\right)^2 + \left(\frac{p\pi}{c}\right)^2}$$

freq. di risonanza  $\nabla \times \nabla \times \vec{E} - k^2 \vec{E} = 0$

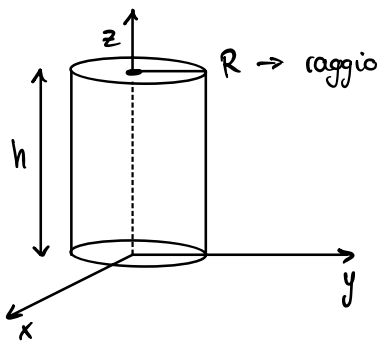
$f_{r, mnp} = \frac{k_{mnp} v}{2\pi}$  → velocità della luce nel materiale

I modi possono essere classificati come  $TE_{mnp}^z$  e  $TM_{mnp}^z$

- $TE_{101}$ ,  $TE_{011}$
- $TE_{001}$  NON PUO' ESISTERE PERCHE' HO COMP. COST. IN X-Y
- $TM_{10}$  → per i modi TM non ho indice 0

Sei un per la componente normale del campo magnetico deve andare a 0, mentre la comp. tangente del campo elettrico deve essere 0  $\left. \begin{matrix} \vec{H}_z \cdot \hat{n}_z = 0 \end{matrix} \right\}$

## CAVITA' CILINDRICA



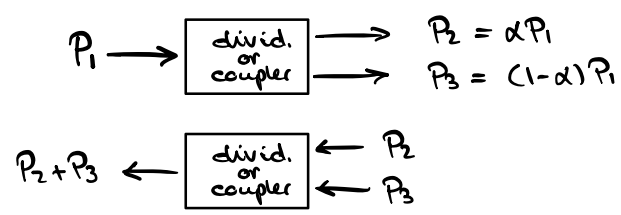
$$k_{mnp} = \begin{cases} \sqrt{\left(\frac{X'_{mn}}{R}\right)^2 + \left(\frac{p\pi}{h}\right)^2} & TE \\ \sqrt{\left(\frac{X_{mn}}{R}\right)^2 + \left(\frac{p\pi}{h}\right)^2} & TM \end{cases}$$

- $X'_{mn}$  = n-esima radice della derivata della funzione di Bessel del primo tipo di ordine n
- $X_{mn}$  = n-esima radice della funzione di Bessel del primo tipo di ordine m

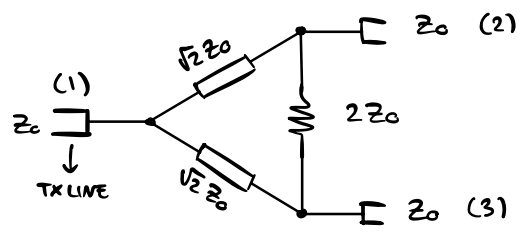
# MICROWAVE DEVICES

- power dividers e combiners
- circulators e isolators

i power dividers sono usati per dividere e ricombinare le potenze:

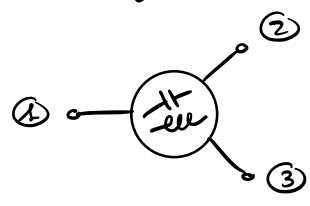


## WILKSON POWER DIVIDER



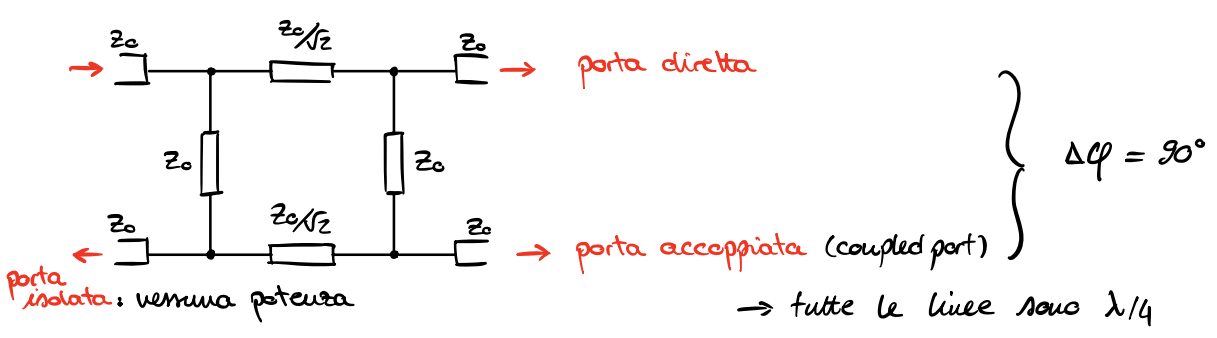
le linee sono lunghe  $\frac{\lambda}{4}$   
 → tutte le porte sono matchate

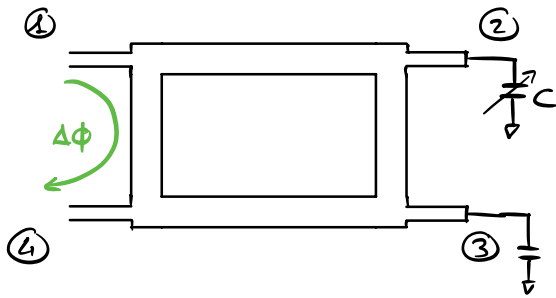
l'ingresso nella porta ① divide la potenza nelle porte ② e ③ senza perdite, mentre l'ingresso nelle porte dissipa 3dB nel resistore



→ non ho match in tutte le porte  
 → per avere un match in tutte le porte devo usare dei lony devices (per i dispositivi a 3 porte)

## 90° HYBRID COUPLER



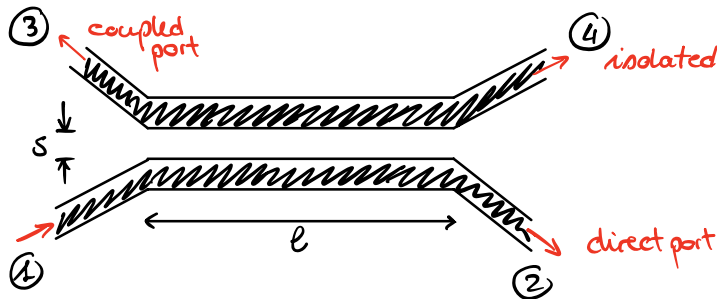


$$S = -\frac{1}{\sqrt{2}} \begin{bmatrix} 0 & j & 1 & 0 \\ j & 0 & 0 & 1 \\ 1 & 0 & 0 & j \\ 0 & 1 & j & 0 \end{bmatrix}$$

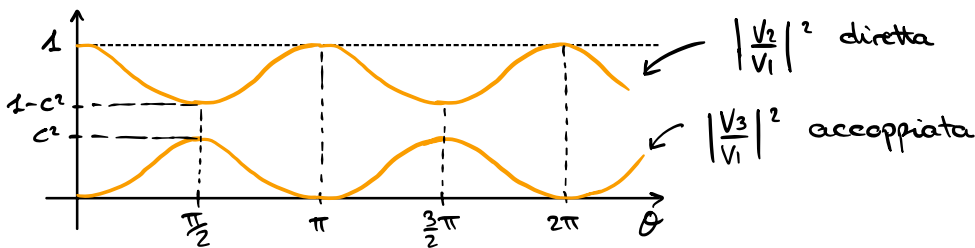
tra ② e ④ ho uno sfasamento di  $90^\circ$ , mentre la divisione e' tra ② e ③  
 ↓  
 e' isolata

Con  $\varphi$  ho uno sfasamento che dipende dalle capacit ; se le due capacit  non sono uguali perdo il problema del matching del circuito

### Δ COUPLED LINES DIRECTIONAL COUPLER



lunghezza elettrica  $\Theta = \beta l$



Se voglio dividere la potenza in modo esattamente equo tra le due porte devo avere che  $c^2 = \frac{1}{2}$

Il livello di accoppiamento e' dato :

$$Z_{even} = Z_0 \sqrt{\frac{1+C}{1-C}}$$

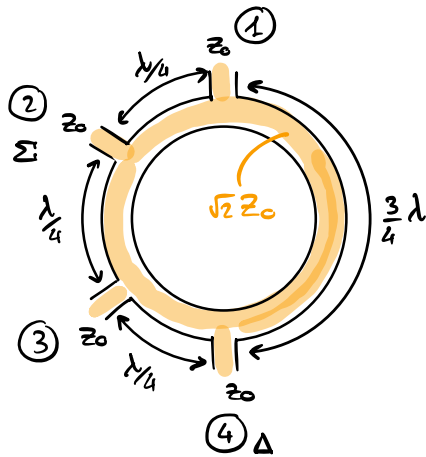
$$Z_{odd} = Z_0 \sqrt{\frac{1-C}{1+C}}$$

impedenza di riferimento  
 (e' la stessa V porta)

→ scelgo C per riparare come voglio

$V_{even} \neq V_{odd}$  (velocita' modi pari  $\neq$  modi dispari)

### Δ RAT RACE COUPLER (180° COUPLER)



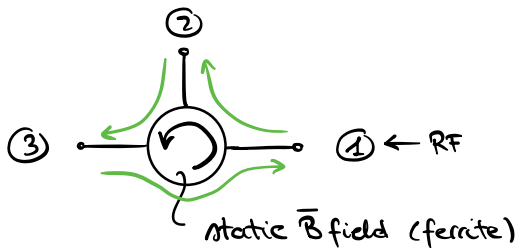
$$S = -\frac{j}{\sqrt{2}} \begin{bmatrix} 0 & 1 & 0 & -1 \\ 1 & 0 & 1 & 0 \\ 0 & 1 & 0 & 1 \\ -1 & 0 & 1 & 0 \end{bmatrix}$$

$$\Sigma = A+B \quad A \rightarrow \text{INPUT}$$

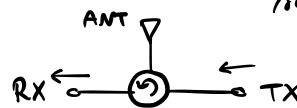
$$\Delta = A-B \quad B \rightarrow \text{LO}$$

- e' usato ma come power divider, ma come mixer (IN @ 1 + LO @ 3 + Non. LN @ 4)
- l'output ② e ④ e' senza sfasamento (input @ ①)
- l'output ④ e ③ e' sfasato di 180° (input @ ④)

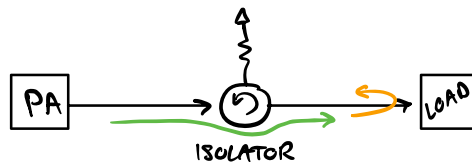
### Δ Non reciprocal components



di solito viene usato nei radar in cui TX e RX sono alla stessa f



ma puo' essere usato anche per isolare la riflessione di un carico:

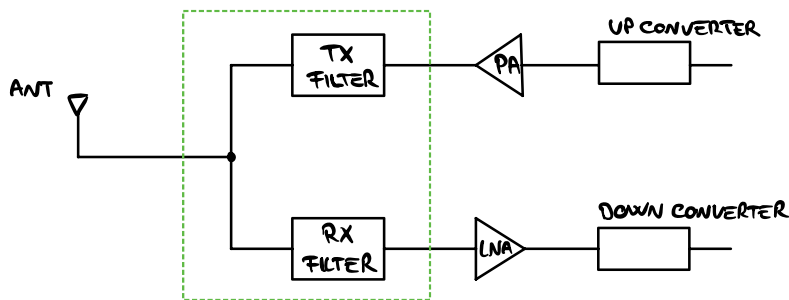


# MICROWAVE FILTER

i filtri possono essere classificati in 4 categorie:

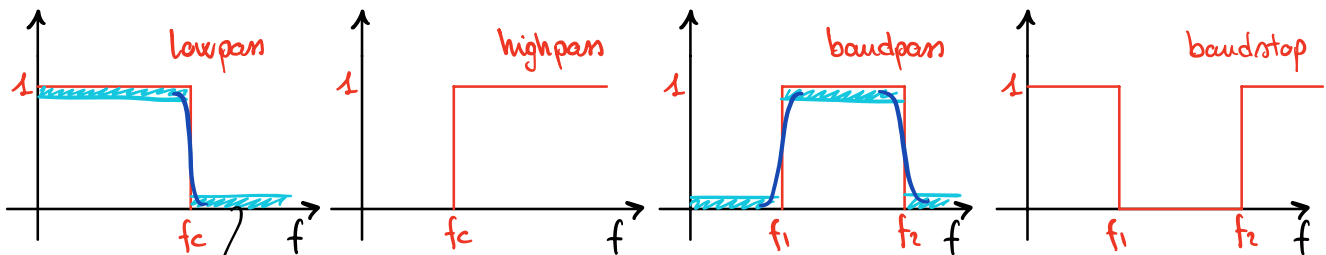
- BAND PASS
- BAND STOP
- LOW PASS
- HIGH PASS

e sono usati nei ricetrasmettitori:



diplexer → tx e rx @ frequenze diverse

(all-pole filters)



la transizione non è immediata, ma ho una regione di transizione

→ devo rispettare una maschera

→ questi filtri sono descritti in termini di **parametri di scattering**; ricordando che un due-porte lossless può essere descritto tramite

$$S = \begin{bmatrix} S_{11} & S_{12} \\ S_{21} & S_{22} \end{bmatrix}$$

$|S_{11}|^2$  = potenza relativa riflessa alla porta 1

$|S_{21}|^2$  = potenza relativa trasmessa alla porta 2

$$|S_{22}| = |S_{11}|$$

$$|S_{21}|^2 + |S_{11}|^2 = 1$$

## SPECIFICHE DEL FILTRO

Sono un set di parametri che delineano le caratteristiche del filtro e la sua maschera, definendo le regioni per i parametri  $|S_{11}|$  e  $|S_{12}|$ ; il design del filtro deve essere un compromesso tra maschera e completezza (costo).

definiamo il **power loss ratio**

$$P_{LR} = \frac{P_{max}}{P_L} \rightarrow \begin{array}{l} \text{potenza massima della sorgente} \\ \text{potenza assorbita dal carico} \end{array}$$

$$\Rightarrow P_{LR} = \frac{1}{1 - |S_{11}|^2} = \frac{1}{|S_{12}|^2}$$

puo' anche essere chiamato **insertion loss (IL)**, espresso in dB:

$$IL = 10 \log P_{LR}$$

definiamo anche il **return loss (RL)** come

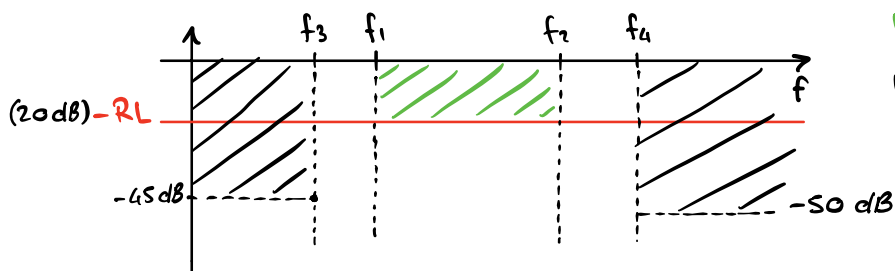
$$RL = 10 \log \frac{1}{|S_{11}|^2}$$

**N.B.**

$$\begin{cases} |S_{11}|_{dB} = 20 \log |S_{11}| \\ (|S_{11}|^2)_{dB} = 10 \log |S_{11}|^2 \end{cases}$$

Per un filtro passa banda, i requirements consistono nelle specificare un  $RL_{min}$  nella banda passante e un  $IL_{min}$  nella banda attenuata; ad esempio potrei avere:

- $RL > 20 \text{ dB}$  (in banda tra  $f_1 < f < f_2$ )
- almeno  $45 \text{ dB}$  di attenuazione @  $f = f_3$
- almeno  $50 \text{ dB}$  di attenuazione @  $f = f_4$



maschera per  $|S_{11}|$   
maschera per  $|S_{12}|$

Come fare?

- identificare un polinomio
- ottenere un circuito/lumped per cui  $P_L$  e' il polinomio desiderato
- convertire il circuito in circuito per microonde

## LOW PASS (equivalent low-pass prototype)

- derivo un filtro passa-basso normalizzato
- noi lavoreremo solo con filtri all-pole  $\Rightarrow |S_{21}|$  non ha zeri ne non  $\infty$

Introduciamo il **dominio delle frequenze normalizzato**  $-\infty < \Omega < +\infty$

$\Rightarrow$  progettiamo un filtro che ha un taglio @  $\Omega_c = \pm 1 \text{ rad/s}$

↓  
e' il punto in cui il filtro inizia ad attenuare (e' il margine della banda passante)

## BUTTERWORTH

$$P_L(\Omega) = 1 + \epsilon^2 \Omega^{2N} \rightarrow \text{numero intero (ordine del filtro)}$$

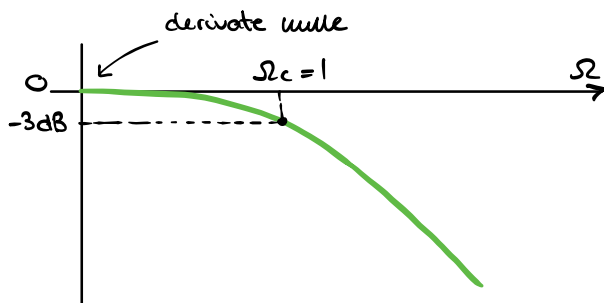
↓

↓  
fattore di ripple

la risposta e' detta massimamente piatta perche' tutte le sue derivate sono nulle in 0

→ non e' molto usato

→ la frequenza di taglio e' definita come il punto @ -3dB



$$|S_{21}|^2 = \frac{1}{P_L} = \frac{1}{1 + \epsilon^2}$$

$$|S_{11}|^2 = 1 - |S_{21}|^2 = \frac{\epsilon^2}{1 + \epsilon^2}$$

$$|S_{11}|^2 = 10^{-\frac{R}{10}}$$

Chebyshev

$$P_L(\Omega) = 1 + \epsilon^2 T_N^2(\Omega)$$

è il polinomio di Chebyshev di grado  $N$  definito come:

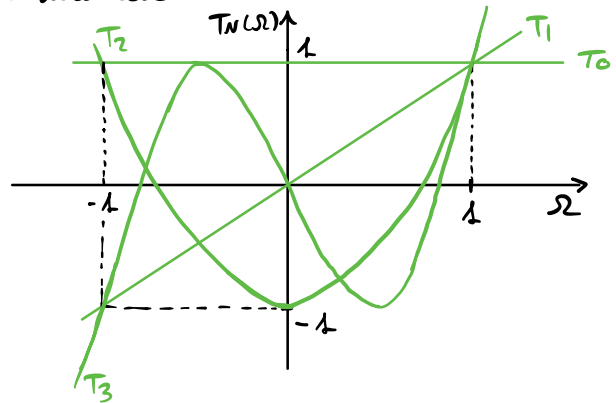
$$T_N(\Omega) = \begin{cases} \cos(N \cdot \arccos(\Omega)) & \text{se } |\Omega| \leq 1 \\ \cosh(N \cdot \operatorname{arccosh}(\Omega)) & \text{se } \Omega > 1 \\ (-1)^N \cosh(N \cdot \operatorname{arccosh}(\Omega)) & \text{se } \Omega < -1 \end{cases}$$

è sempre possibile scriverlo in forma polinomiale

$$T_0 = 1$$

$$T_1 = \Omega$$

$$T_{N+1} = 2\Omega T_N(\Omega) - T_{N-1}(\Omega)$$



abbiamo che:

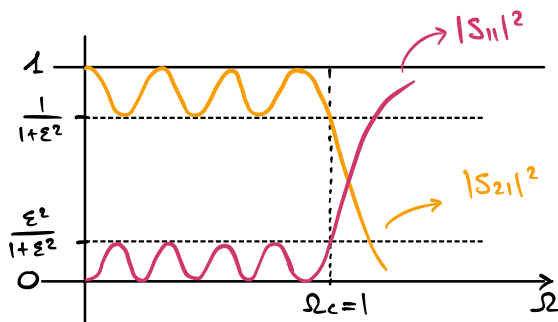
$$|S_{11}|^2 = \frac{\epsilon^2 T_N^2(\Omega)}{1 + \epsilon^2 T_N^2(\Omega)}$$

$$|S_{21}|^2 = \frac{1}{P_L} = \frac{1}{1 + \epsilon^2 T_N^2(\Omega)}$$

affinchè il taglio sia @  $\Omega_c = 1 \Rightarrow$

$$\begin{aligned} |S_{21}|^2_{\Omega=1} &= \frac{1}{1 + \epsilon^2} \\ |S_{11}|^2_{\Omega=1} &= \frac{\epsilon^2}{1 + \epsilon^2} \end{aligned}$$

possiamo esprimere le specifiche anche in funzione di  $\epsilon$ :  $\epsilon^2 = \frac{|S_{11}|^2_{\Omega=1}}{1 - |S_{11}|^2_{\Omega=1}}$



l'attenuazione aumenta con  $N$ : ogni

l'aggiunta di un grado aumenta di 6dB

l'attenuazione fuori banda

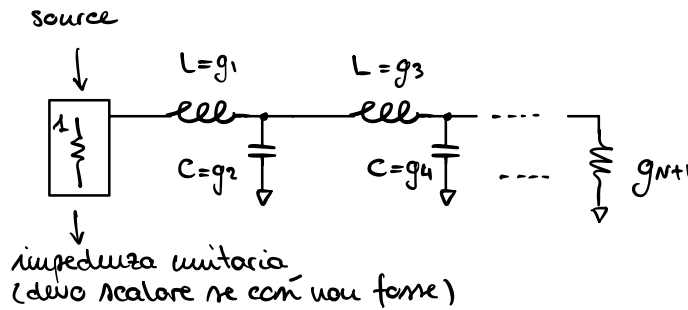
$\Rightarrow$  se voglio un'attenuazione  $A_s$  @  $\Omega_s$ :

$$N > \frac{A_s + RL + 6}{20 \log \Omega_s + 6}$$

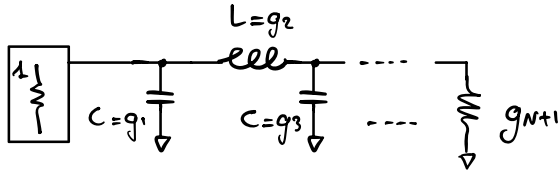
Quindi i parametri sono  $\begin{cases} RL = IL \\ A_s = \Omega_s \end{cases}$

Trovato il polinomio di  $P_{RL}(s)$  desiderato, esiste sempre un circuito  $V/N$  e prende il nome di **lowpass prototype**

↓  
composto da  $N$  elementi in un tipo ladder



→ i coefficienti  $g_i$  sono  
induttanze [H] per gli elementi  
in serie e capacità [F] per  
quelli in parallelo



→  $g_{N+1}$  e' una resistenza se quello  
prima e' in parallelo, un'induttanza  
se quello prima e' in serie

Posso trovare i valori dalle seguenti equazioni:

$$\beta = \ln \left\{ \coth \left[ \frac{\log(1+\epsilon^2)}{1.737} \right] \right\}$$

$$\gamma = \sinh \frac{\beta}{2N}$$

$$a_i = \sin \frac{(2i-1)\pi}{2N} \quad b_i = \gamma^2 + \sin^2 \frac{i\pi}{N} \quad i = 1, 2, \dots, N$$

$$g_0 = 1, \quad g_1 = \frac{2a_1}{\gamma}, \quad g_i = \frac{4a_{i-1}a_i}{b_{i-1}g_{i-1}} \quad i = 2, 3, \dots, N$$

$$g_{N+1} = \begin{cases} 1 & N \text{ dispari} \\ \coth^2 \frac{\beta}{4} & N \text{ pari} \end{cases}$$

IMPEDANCE SCALING:

$$1 \rightarrow R_0$$

$$\frac{1}{s} \rightarrow \times R_0$$

$$\frac{1}{s^2} \rightarrow \times \frac{1}{R_0}$$

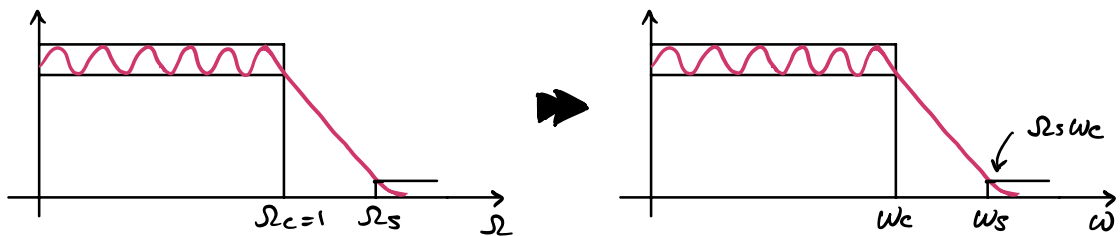
## FREQUENCY SCALING:

voglio avere un passa-bando @  $\omega_c$  cutoff

$$\Omega \rightarrow \frac{\omega}{\omega_c}$$

$$\frac{g_i}{s} \rightarrow \frac{j\Omega g_i}{s} \rightarrow \frac{j\frac{\omega}{\omega_c} g_i}{s} \rightarrow \frac{\frac{g_i}{\omega_c}}{s}$$

$$\frac{1}{s} g_i \rightarrow \frac{1}{s} \frac{g_i}{\omega_c}$$



**esempio:** designa un passa-bando con  $R_L = 20$ , taglio a  $f_c$  e attenuazione  $A_s$  a  $\omega_s$   
 $\omega_c = 2\pi f_c$

$$\Omega_s = \frac{\omega_s}{\omega_c}$$

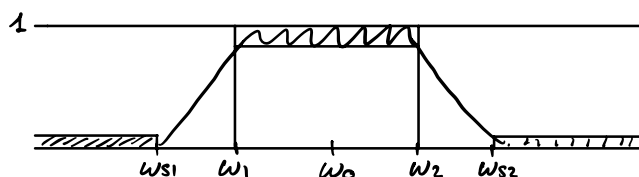
$$N > \frac{A_s + R_L + 6}{20 \log \frac{\omega_s}{\omega_c} + 6}$$

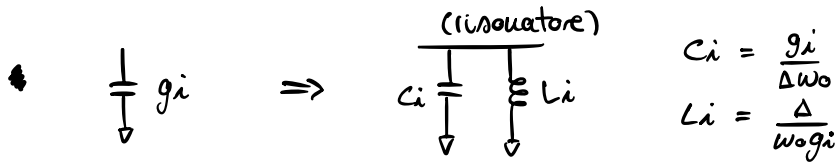
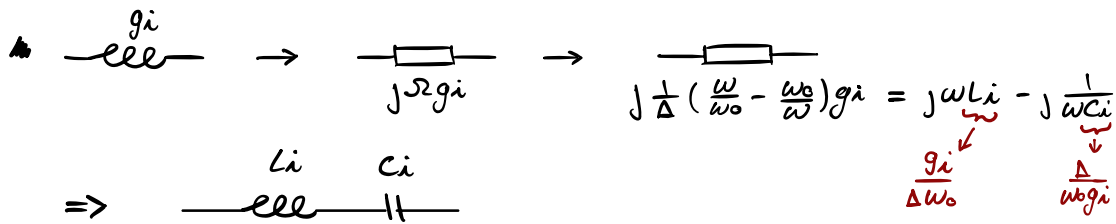
LOW PASS  $\rightarrow$  **BAND PASS**

la sostituzione da fare e'  $\Omega \rightarrow \frac{\omega_0}{\omega_2 - \omega_1} \left( \frac{\omega}{\omega_0} - \frac{\omega_0}{\omega} \right)$

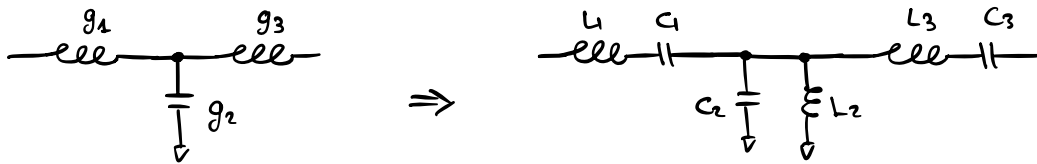
dove  $\omega_1, \omega_2$  sono i limiti della banda passante e  $\omega_0 = \sqrt{\omega_1 \omega_2}$  centro banda

$$\Delta = \text{banda relativa} = \frac{\omega_2 - \omega_1}{\omega_0} = \frac{f_2 - f_1}{f_0}$$

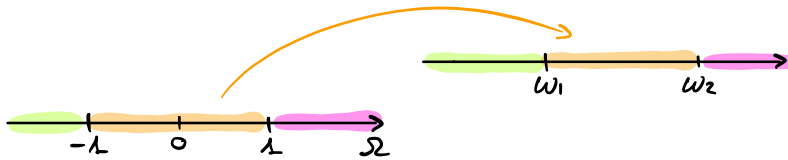




quindi ho una trasformazione del tipo:



la trasformazione coverta:



infatti se coverta  $\omega_2: \frac{\omega_0}{\omega_2 - \omega_1} (\frac{\omega_2}{\omega_0} - \frac{\omega_0}{\omega_2}) = \frac{\omega_0}{\omega_2 - \omega_1} \frac{\omega_2^2 - \omega_0^2}{\omega_0 \omega_2} \stackrel{\omega_0 = \sqrt{\omega_1 \omega_2}}{\downarrow} = \frac{1}{\omega_2 - \omega_1} \frac{\omega_2^2 (\omega_2 - \omega_1)}{\omega_2} = 1$

PASSA-BANDA tra  $f_1$  e  $f_2$  con RL e  $A_{s1} @ f_{s1} \wedge A_{s2} @ f_{s2}$

$\underbrace{N_1}_{f_{s1}} \quad \underbrace{N_2}_{f_{s2}}$

in termini di  $\Omega$ : scelgo il massimo  $N_i \Rightarrow \max(N_i) = N$

$\Omega_{s1} = \frac{1}{\Delta} (\frac{f_{s1}}{f_0} - \frac{f_0}{f_{s1}})$     dove  $f_0 = \sqrt{f_1 f_2}$

$\Delta = \frac{f_2 - f_1}{f_0}$

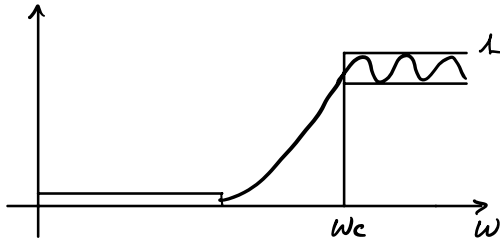
LOW PASS → HIGH PASS

$$\Omega \rightarrow -\frac{\omega_c}{\omega}$$



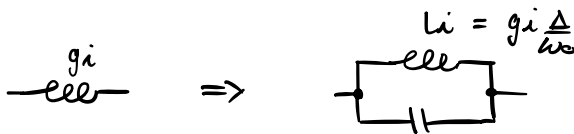
$$\Rightarrow C_i = \frac{1}{\omega_c g_i}$$

$$\Rightarrow L_i = \frac{1}{\omega_c g_i}$$



LOW PASS → BAND STOP

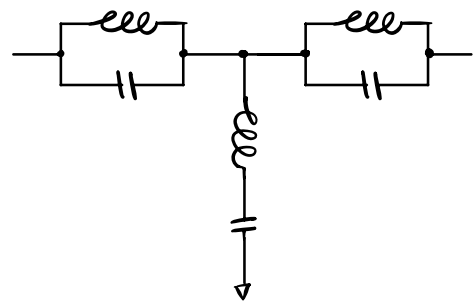
$$\Omega \rightarrow -\Delta \left( \frac{\omega}{\omega_0} - \frac{\omega_0}{\omega} \right)^{-1}$$



$$C_i = \frac{1}{g_i \Delta \omega_0}$$



la forma e':



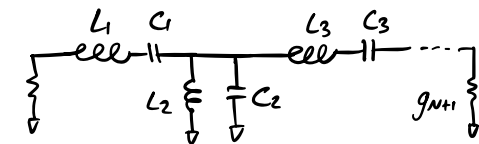
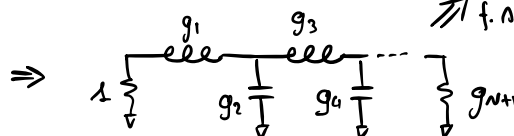
$$N > \frac{As + RL + 6}{20 \log |\Omega_s| + 6}$$

→ se ho  $\Omega_s < 0$  uso il valore assoluto

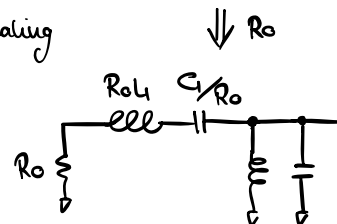
Specifiche del filtro

$R_o, f_1, f_2, RL, \begin{cases} As_1 @ fs_1 \\ As_2 @ fs_2 \\ \dots \end{cases}$

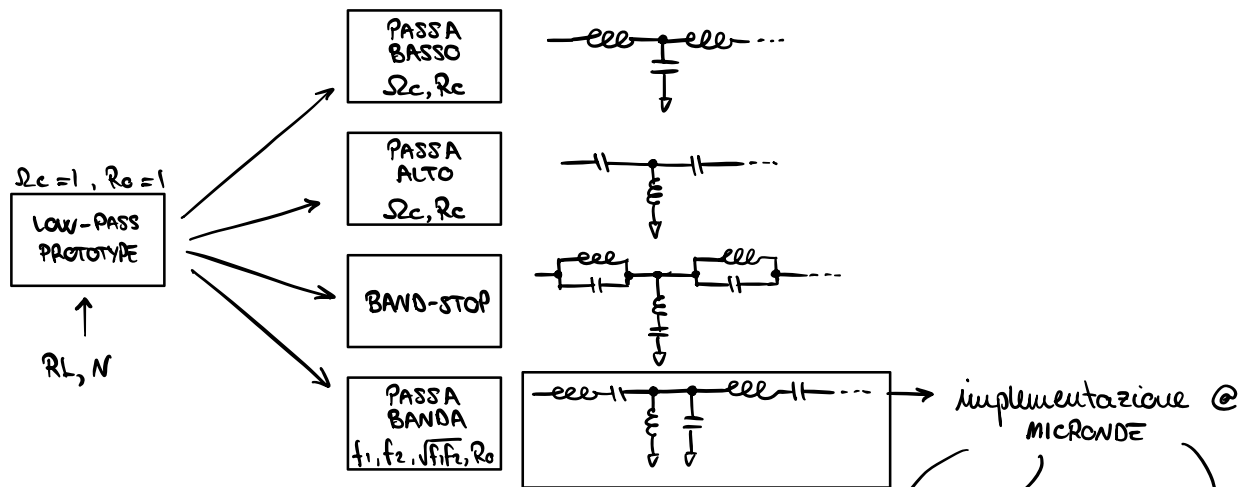
$\downarrow$   
 $L, \Omega_{s1}, RL, \Omega_{s2}, \dots$



f. scaling



## DESIGN DI FILTRI



→ e' impossibile realizzare semplici risonatori collegati in serie (mentre quelli in parallelo sono ok)

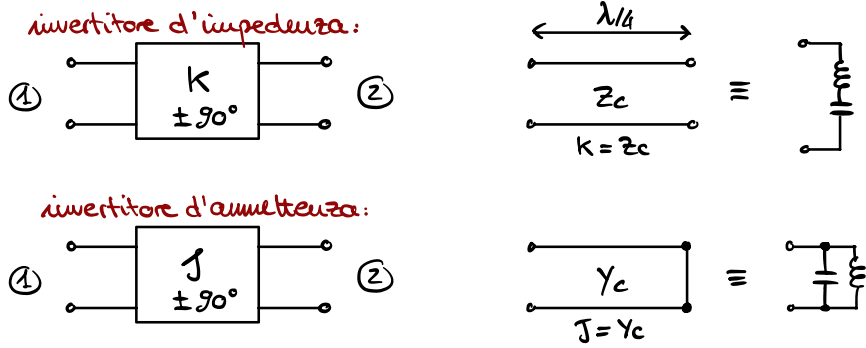
→ la soluzione migliore per una implementazione a microonde e' tramite l'utilizzo di elementi distribuiti collegati ad una distanza non trascurabile fra loro.

↓  
anzi, molto spesso la connessione fra gli elementi puo' essere parte integrante del filtro stesso

## FILTRO USANDO GLI "INVERTITORI"

si parla di **invertitori d'impedenza**, che sono reti a 2-porte senza perdite che quando e' presente sulla porta 2 un carico  $Z_L$  lo trasforma in un carico con impedenza  $\frac{k^2}{Z_L}$ , dove  $k$  e' il parametro di inversione (impedenza reale [ $\Omega$ ]);  
si parla anche di **invertitori d'ammettenza** che trasformano  $Y_L$  in  $\frac{1}{Y_L}$ , dove  $1$  e' un'ammettenza reale [ $\Omega^{-1}$ ]

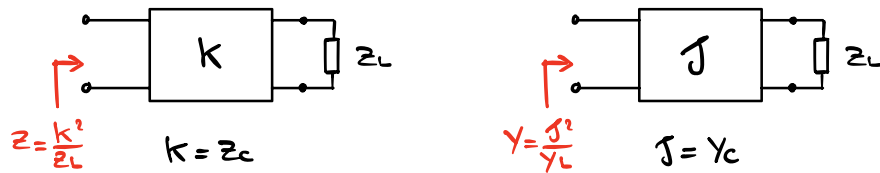
l' esempio più semplice è una sezione di linea di tx di impedenza  $Z_c$  e lunghezza  $\frac{\lambda}{4}$



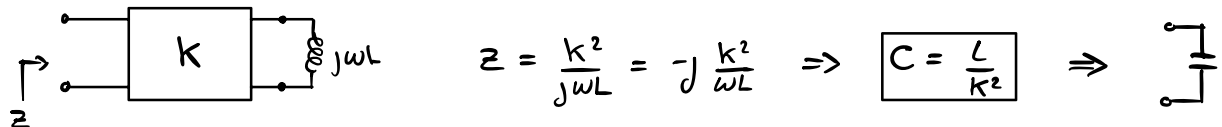
→ permettono di cambiare la topologia:



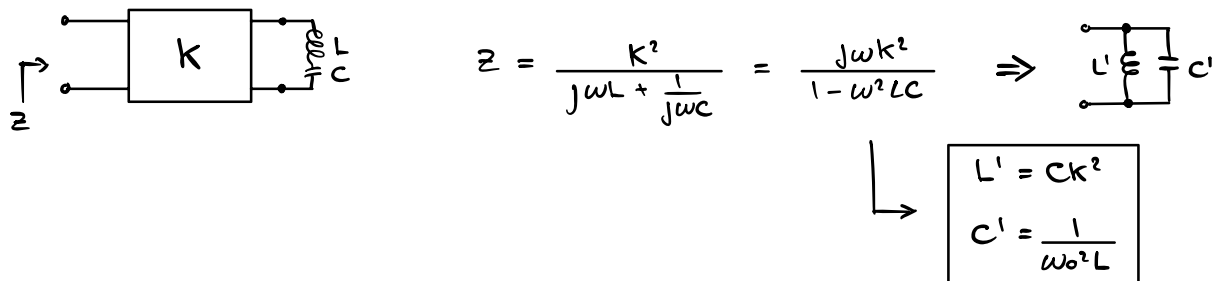
Quindi ho che:

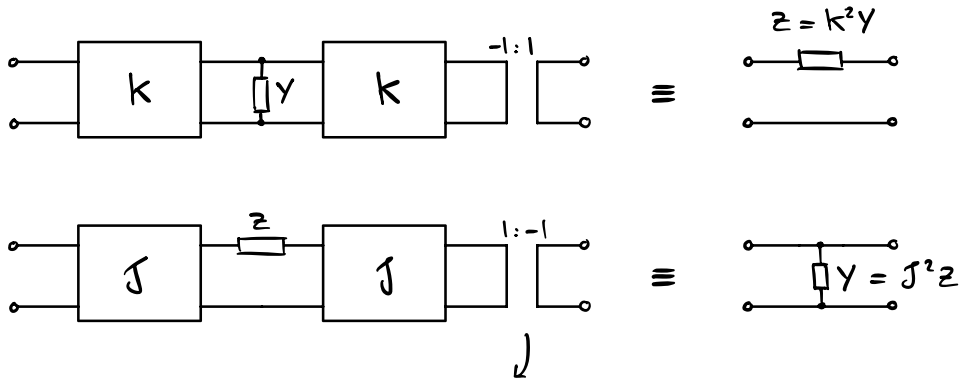


e se metto un carico induttivo ho che diventa capacitivo:



se invece metto una serie LC diventa un parallelo:





il trasformatore  $1:-1$  alla fine cambia solo la fase dei parametri di scattering  $\underline{T}_{\text{trasf}} = \begin{bmatrix} -1 & 0 \\ 0 & -1 \end{bmatrix}$

l'equivalenze sopra si dimostrano tramite le matrici ABCD:

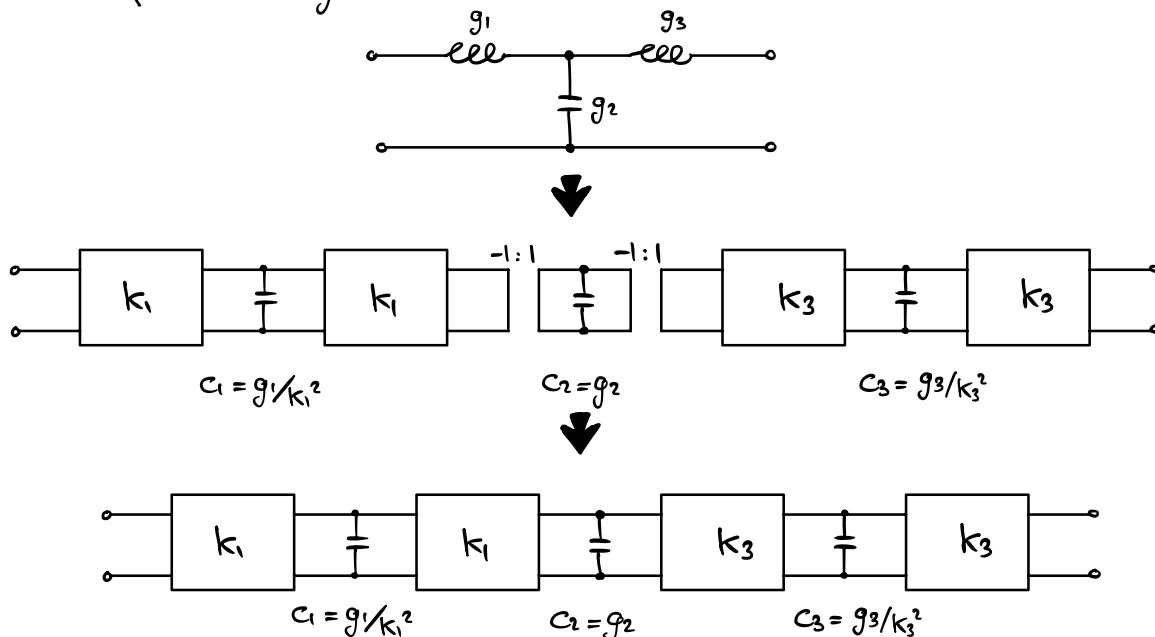
imp:  $\underline{T}_{\text{imp}} = \begin{bmatrix} 0 & jk \\ j/k & 0 \end{bmatrix}$

$\underline{T}_{\text{series}} = \begin{bmatrix} 1 & z \\ 0 & 1 \end{bmatrix}$

shunt:  $\underline{T}_{\text{shunt}} = \begin{bmatrix} 0 & j/y \\ j/y & 0 \end{bmatrix}$

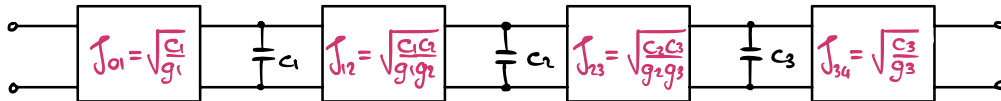
$\underline{T}_{\text{shunt}} = \begin{bmatrix} 1 & 0 \\ y & 1 \end{bmatrix}$

Grazie a quanto detto possiamo sostituire il prototipo del filtro passa-basso in una nuova forma in cui non sono più presenti elementi in serie, come fatto di seguito:



in questo modo riesco a realizzare anche impedenze che sarebbero costituite da componenti ingombranti o troppo piccoli

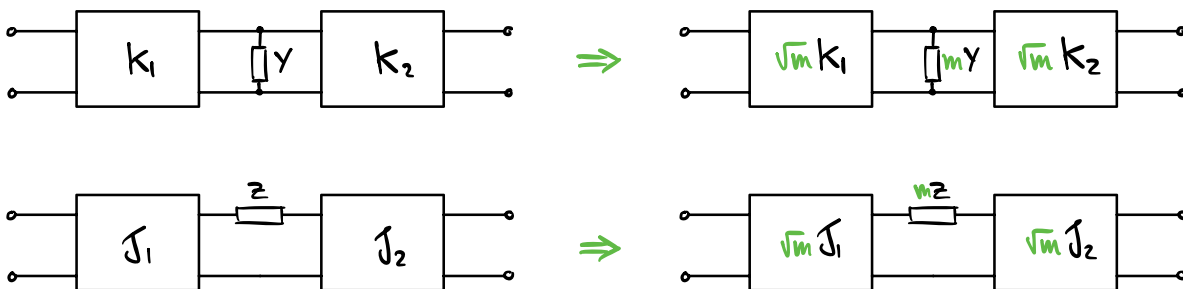
Potremmo usare anche invertitori d'ammettezza: ( $C_1, C_2, C_3$  arbitrari)



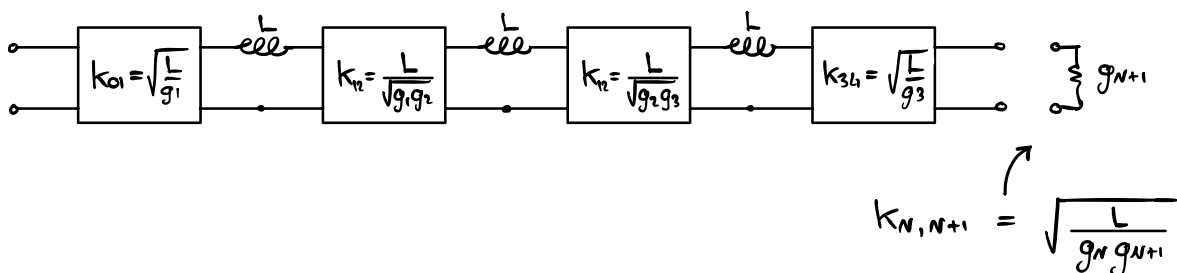
→ ho realizzato tutti risonatori paralleli!

→ usare un invertitore d'impedenza  $k$  e' del tutto equivalente ad usare un invertitore d'ammettezza con  $J = \frac{1}{k}$

→ per effettuare lo scaling basta moltiplicare per  $m$  le capacita' e per  $\sqrt{m}$  gli invertitori (d'impedenza o ammettezza)



Consideriamo anche il carico finale  $g_{N+1}$  (come esempio uso  $L$  anziche'  $C$ ):

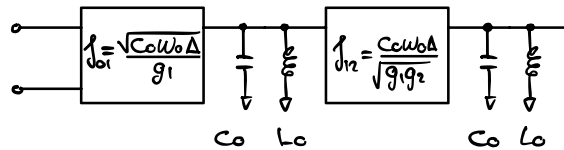


Pero' non ha molto senso fare cosi', ma e' piu' conveniente scalare tutti i valori in modo che il circuito finale sia fatto da conduttori (induttori) unitari e

da sorgente e carico unitari e di invertitori che hanno valori:

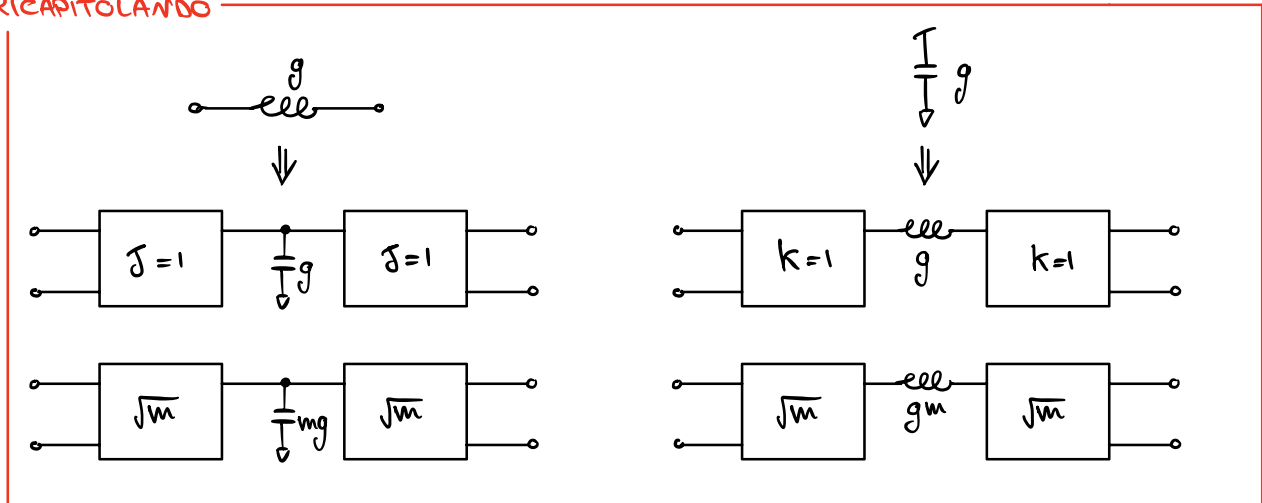
$K_{01} = \frac{1}{\sqrt{g_0 g_1}}$	$J_{01} = \frac{1}{\sqrt{g_0 g_1}}$	(apeno $g_0 = 1$ )
$K_{i,i+1} = \frac{1}{\sqrt{g_i g_{i+1}}}$	$J_{i,i+1} = \frac{1}{\sqrt{g_i g_{i+1}}}$	con $i = 1, 2, \dots, N-1$
$K_{N,N+1} = \frac{1}{\sqrt{g_N g_{N+1}}}$	$J_{N,N+1} = \frac{1}{\sqrt{g_N g_{N+1}}}$	

Vediamo ora qual e' il circuito equivalente per un filtro passa-banda con tutti gli elementi in parallelo:



→ e' analogo a prima, cambia solo serie o parallelo di L e C del prototipo

### RICAPITOLANDO



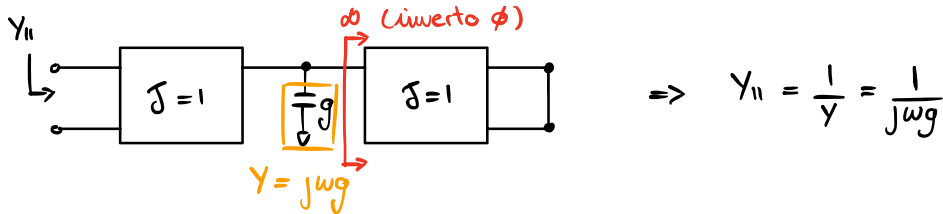
Riusciamo a calcolare la matrice d'impedenza di:

$Z_{11} = \frac{V_1}{I_1} \Big|_{I_2=0} \rightarrow \text{non riesco a calcolarla!}$

Posso calcolare la matrice d'ammittenza pero':

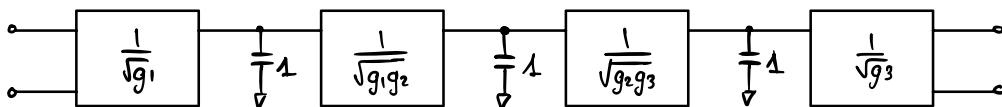
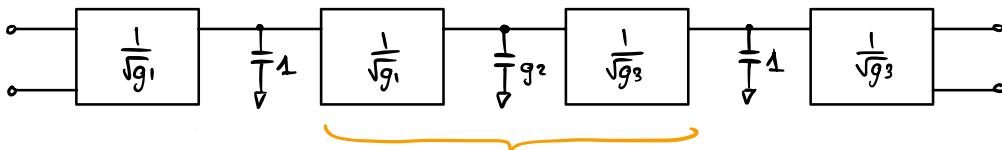
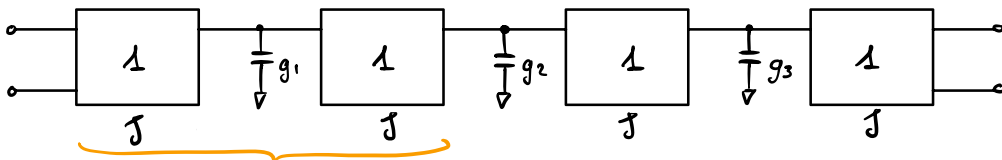
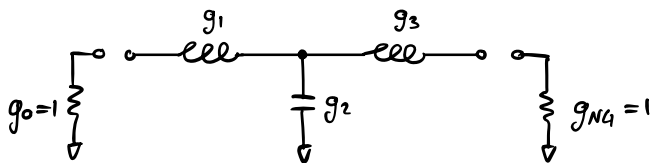


Proviamo a fare la stessa cosa sul circuito equivalente:

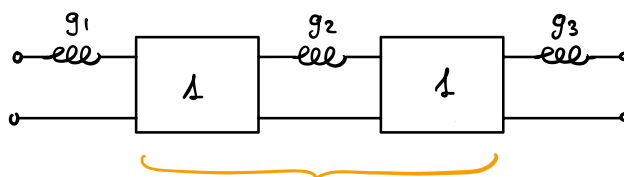


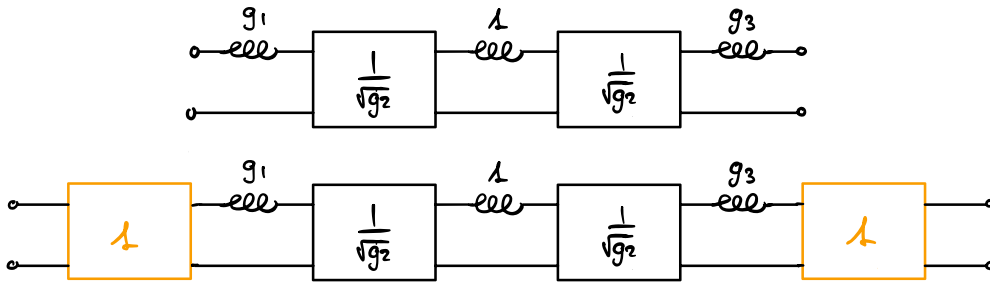
→ l'impedenza e' la stessa (ovviamente... non sa proprio cosa fare a lezione...)

Trasformiamo in tutto-parallelo il seguente circuito:



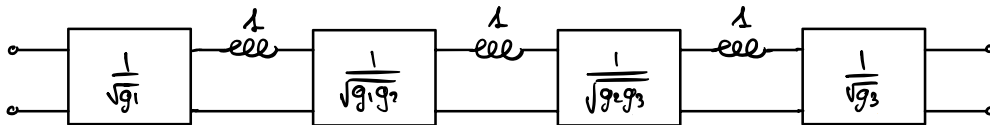
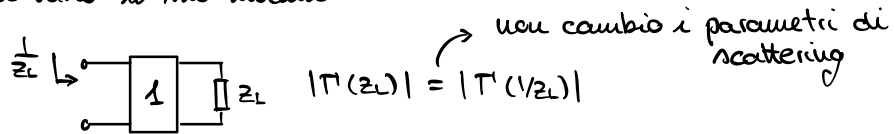
facciamo lo stesso supponendo di voler tutti elementi in serie (a volte e' comodo)





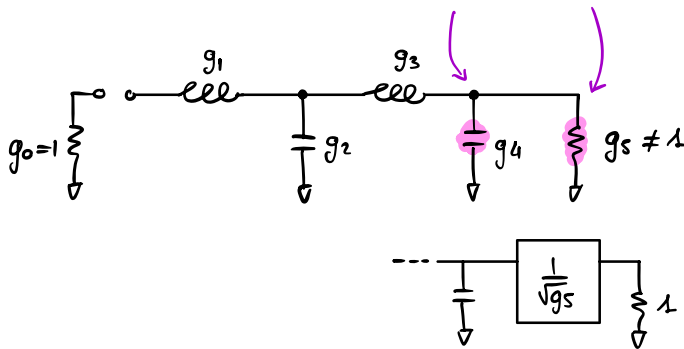
aggiungo due invertitori unitari

vario l'impedenza e vario la fase del coefficiente di riflessione, ma non vario il suo modulo

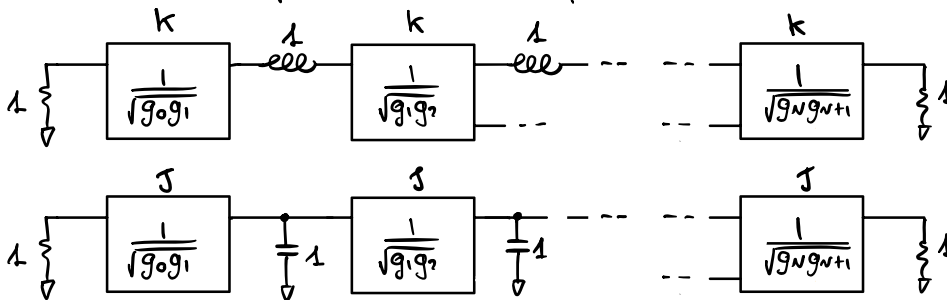


→ ho ottenuto un circuito equivalente a quello di partenza (ho gli stessi valori per gli invertitori che avevo nel caso parallelo)

Supponiamo di avere anche  $g_4$  e  $g_5 \neq 1$  aggiunti al circuito di prima:



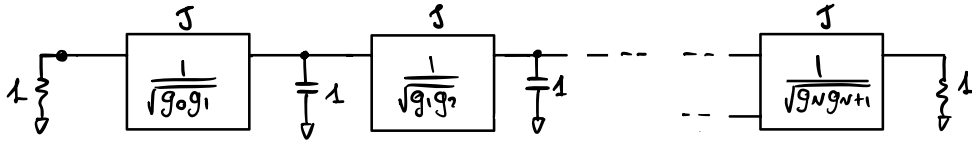
Quindi ho due nuovi prototipi di filtro passa-basso:



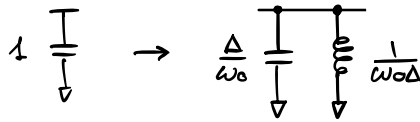
→ le strutture diventano simmetriche (ma per filtri di ordine pari, che dispari)

## DA FILTRO PASSA-BASSO A PASSA-BANDA

parto dal modello parabolico che avevo prima:

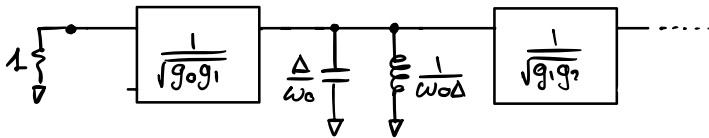


e converto le capacità con risonatori in //:

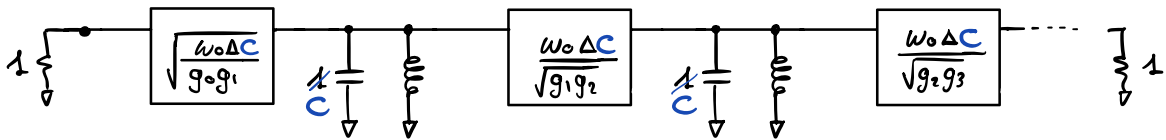


$$L = \frac{1}{\omega_0^2 C} \quad \text{scelto } C, L \text{ e' tale da generare risonanza in } \omega_0$$

e ottengo:



normalizzando:



⇒ se ho C, devo mettere C anche negli invertitori  
se ho L, ho uno dentro agli invertitori

TUTTI IN PARALLELO

$$J_{01} = \sqrt{\frac{\omega_0 \Delta C}{g_0 g_1}} \quad \begin{array}{l} \text{con } C = 1 \\ \text{con } C \neq 1 \end{array}$$

$$J_{i,i+1} = \frac{\omega_0 \Delta C}{\sqrt{g_i g_{i+1}}}$$

$$J_{N,N+1} = \sqrt{\frac{\omega_0 \Delta C}{g_N g_{N+1}}}$$

TUTTI IN SERIE

$$K_{01} = \sqrt{\frac{\omega_0 \Delta L}{g_0 g_1}} \quad \begin{array}{l} \text{con } L = 1 \\ \text{con } L \neq 1 \end{array}$$

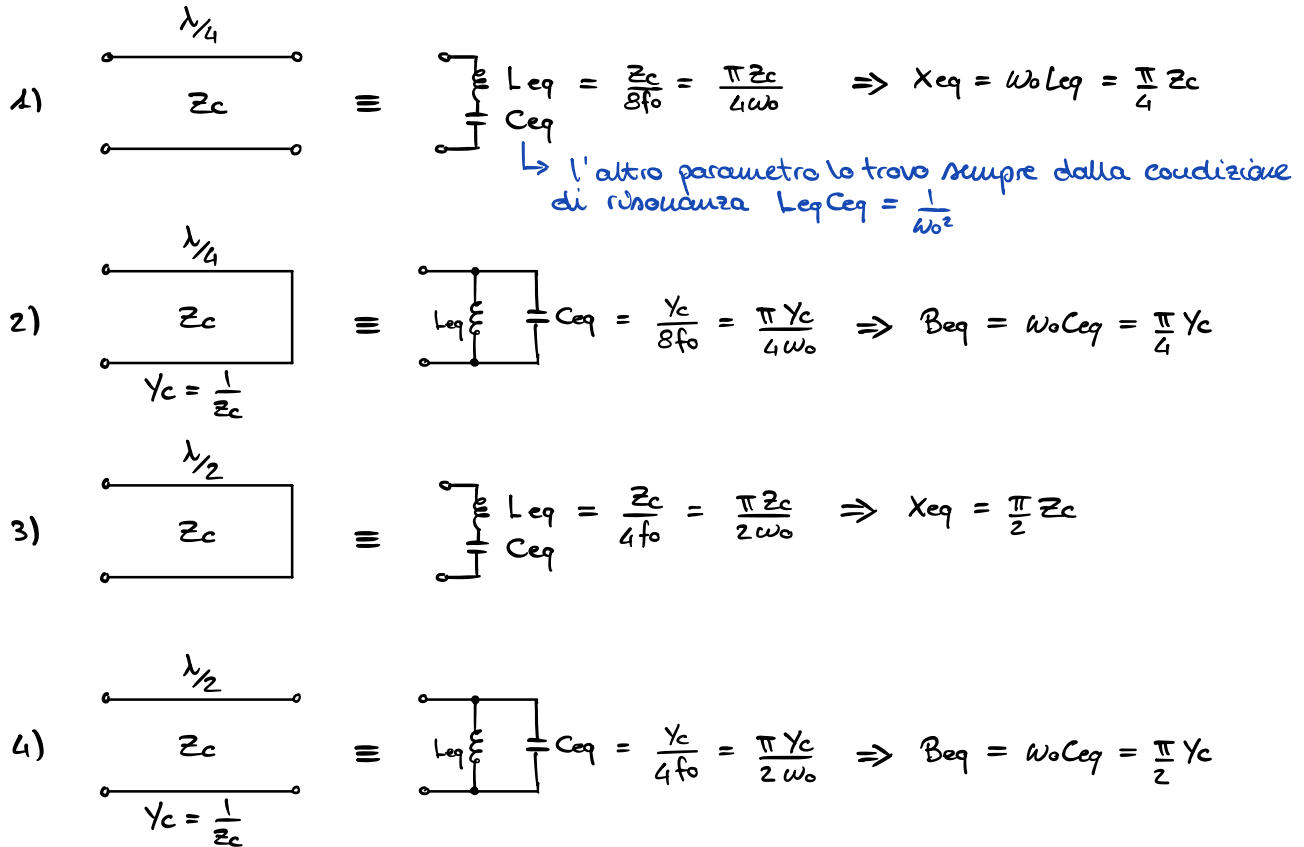
$$K_{i,i+1} = \frac{\omega_0 \Delta L}{\sqrt{g_i g_{i+1}}}$$

$$K_{N,N+1} = \sqrt{\frac{\omega_0 \Delta L}{g_N g_{N+1}}}$$

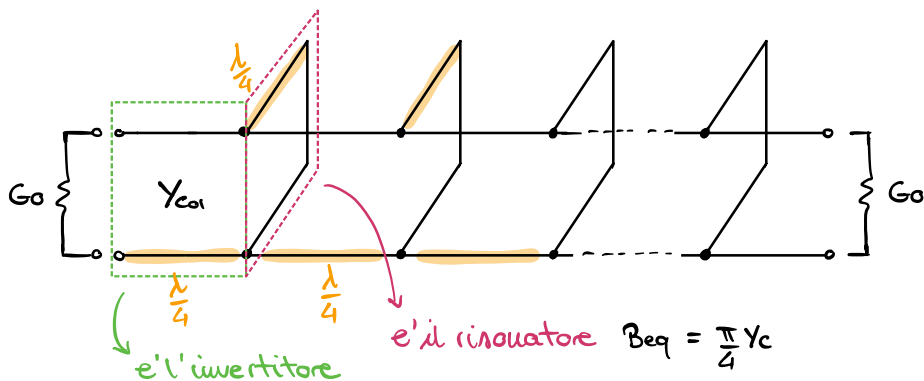
↓  
parametro di slope per  
—eee—||—  
L

## TRANSMISSION LINE RESONATOR

→ una possibile soluzione per implementare un risonatore e' usare una **linea** di trasmissione a  $\frac{\lambda}{4}$  o a  $\frac{\lambda}{2}$ :



Filtro con risonatori  $\frac{\lambda}{4}$  e con invertitori  $\frac{\lambda}{4}$  (tutti in parallelo)



$$J_{01} = \sqrt{\frac{\omega_0 \Delta C}{g_0 g_1}} = \sqrt{\frac{\omega_0 \Delta C \epsilon_q}{G_0 g_0 g_1}} \Rightarrow J_{01} = \sqrt{\frac{\omega_0 \Delta C \epsilon_q G_0}{g_1}} = \sqrt{\frac{\Delta G_0 B_{\epsilon q}}{g_1}}$$

$$J_{i,i+1} = \frac{\omega_0 \Delta C}{\sqrt{g_i g_{i+1}}} = \frac{\omega_0 \Delta C \epsilon_q}{G_0 \sqrt{g_i g_{i+1}}} \Rightarrow J_{i,i+1} = \frac{\omega_0 \Delta C \epsilon_q G_0}{\sqrt{g_i g_{i+1}}} = \frac{\Delta B_{\epsilon q}}{\sqrt{g_i g_{i+1}}}$$

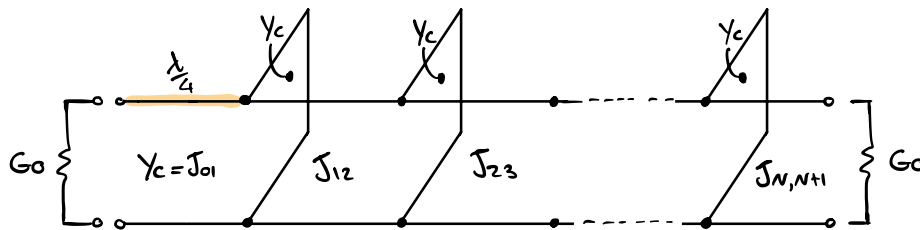
Sostituisco  $B_{\epsilon q} = \frac{\pi}{4} Y_c$

$$J_{01} = \sqrt{\frac{\Delta G_0 \pi Y_c}{4 g_1}}$$

$$J_{i,i+1} = \frac{4 \pi Y_c}{4 \sqrt{g_i g_{i+1}}}$$

$$J_{N,N+1} = J_{01}$$

set di ammettenze caratteristiche che connettono i vari risonatori



$N \approx 15 \Rightarrow Z_c = \frac{1}{Y_c} < 130 \Omega \rightarrow Y_c$  ha poca variabilità e questo potrebbe rappresentare un problema in alcuni casi; inoltre l'ammettenza caratteristica degli invertitori è proporzionale alla larghezza di banda relativa ( $\Delta$ ) o alla sua radice e ciò implica che filtri con banda molto stretta potrebbero non essere realizzabili a causa dell'ammettenza caratteristica necessaria troppo grande:

$$Y_{c01} = \sqrt{\frac{\Delta \pi}{4}} \sqrt{\frac{G_0 Y_{cr}}{g_0 g_1}}$$

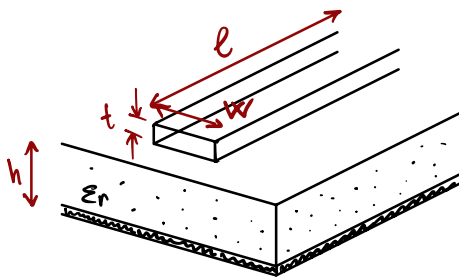
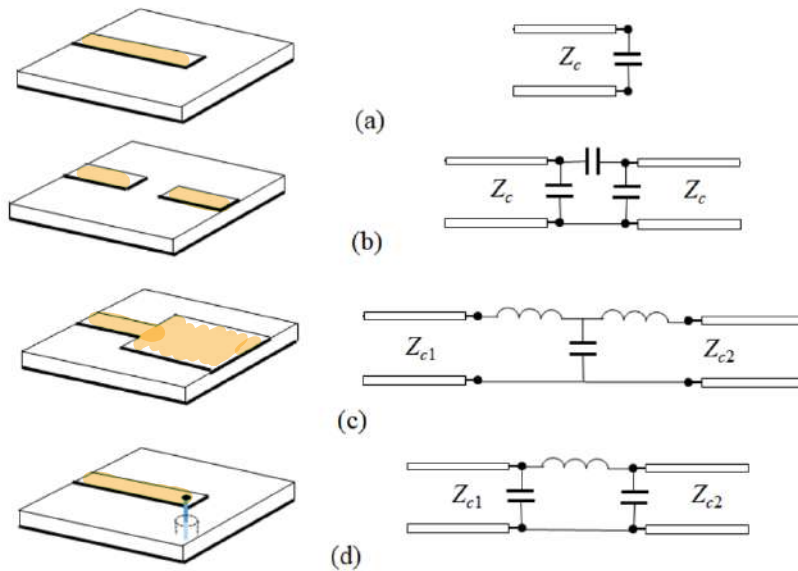
$$Y_{c i,i+1} = \frac{\Delta \pi}{4} \frac{Y_{cr}}{\sqrt{g_i g_{i+1}}}$$

$$Y_{c N,N+1} = \sqrt{\frac{\Delta \pi}{4}} \sqrt{\frac{G_0 Y_{cr}}{g_N g_{N+1}}}$$

di solito  $G_0 = \frac{1}{50} [\Omega^{-1}]$

## IMPLEMENTAZIONE IN MICROSTRISIA

Un modo per implementare le linee di trasmissione e' tramite microstrisce (microstrip) anche se queste introducono effetti capacitivi (ai bordi) non sempre (anzi, quasi mai) trascurabili. Inoltre, anche le giunzioni introducono effetti reattivi che vanno considerati (vedi schema successivo)



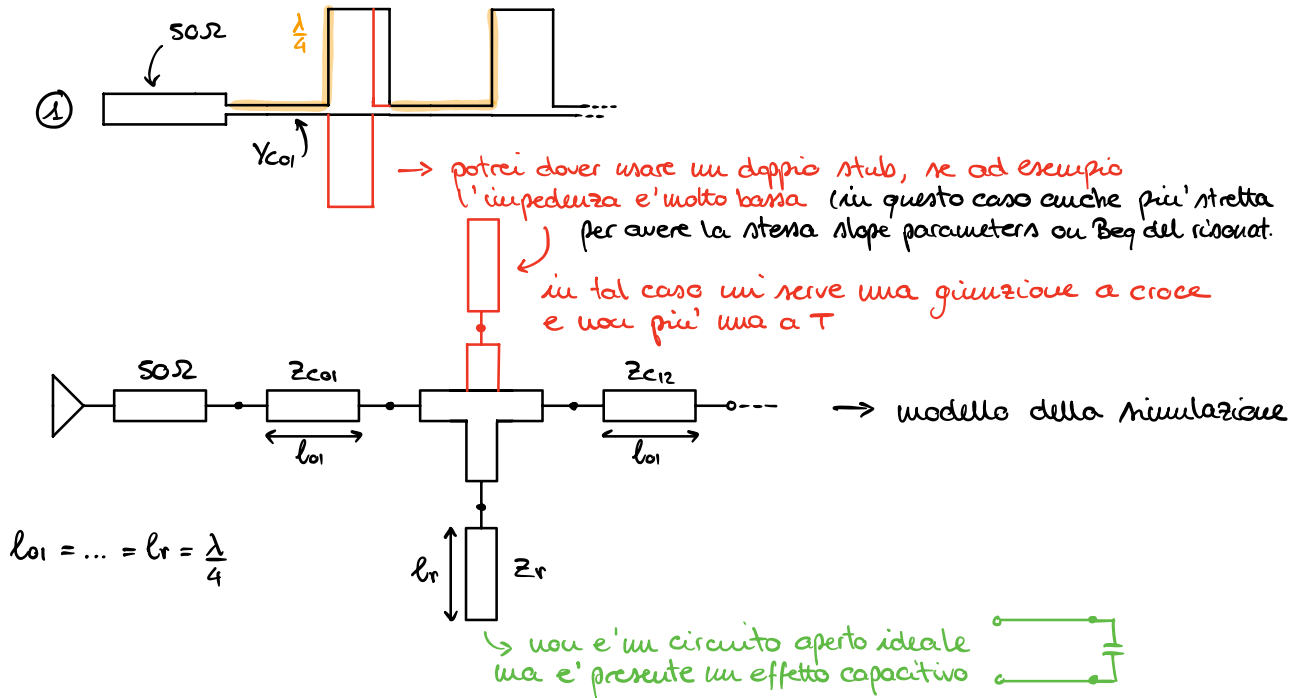
$\epsilon_r, t, h, l, w$  sono i parametri caratteristici per una microstriscia

(alcuni possono essere già assegnati, altri sono modellabili per la realizzazione del filtro)

→ di solito  $\epsilon_r, h$  e  $t$  sono assegnati

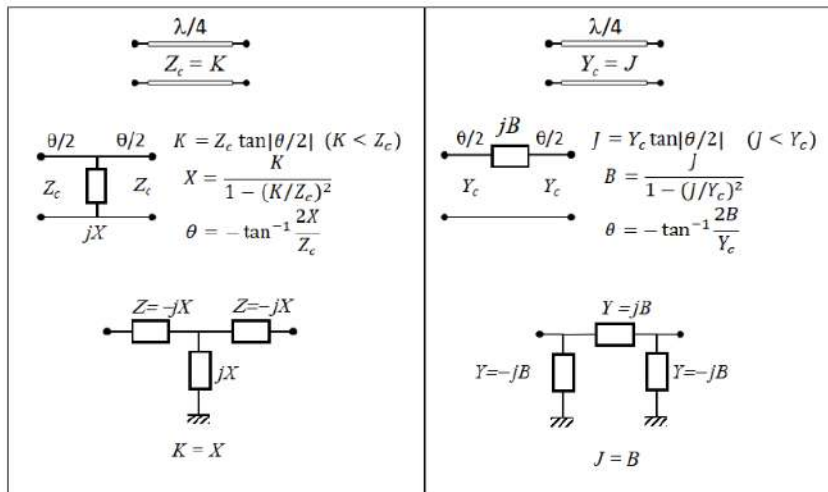
→ e  $l$  e  $w$  vanno scelti ( $l \rightarrow \frac{\lambda}{4}$  e  $w \rightarrow Z_c$  bene o male...)

Di seguito una possibile implementazione in microstriscia e il relativo modello usato nella simulazione del circuito

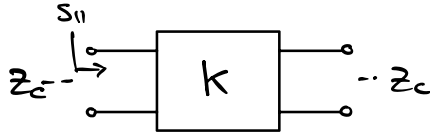


→ la simulazione viene svolta eseguendo un modello del comportamento elettromagnetico del circuito

Come faccio ad implementare un invertitore? Ho almeno 3 modi rappresentati di seguito:



Inoltre, data l'impedenza di sorgente e di carico  $Z_c$ , **qualiasi circuito 2-porte** **simmetrico senza perdite che fornisce un coefficiente di riflessione  $S_{11}$**  **reale si comporta come un invertitore di impedenza pari a  $k$** :



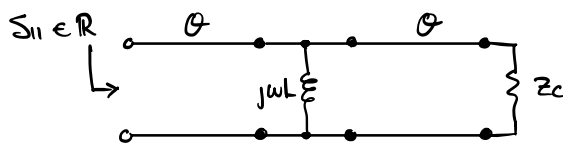
$$S_{11} = \frac{\frac{k^2}{Z_c} - Z_c}{\frac{k^2}{Z_c} + Z_c} = \frac{\frac{k^2}{Z_c^2} - 1}{\frac{k^2}{Z_c^2} + 1}$$

$$\Rightarrow k = Z_c \sqrt{\frac{1 + S_{11}}{1 - S_{11}}}$$

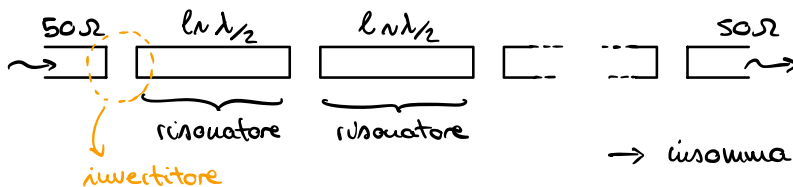
ad esempio, consideriamo un parallelo tra  $L$  e il carico:



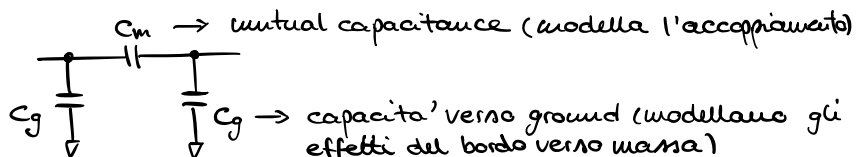
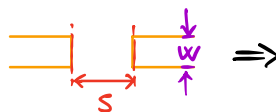
→ posso aggiungere una linea tx prima e dopo l'impedenza complessa in modo tale che quando chiudiamo sul carico  $Z_c$  dall'ingresso vediamo valori reali del coefficiente di riflessione → è sempre possibile farlo (anche se alcuni circuiti funzionano meglio di altri)

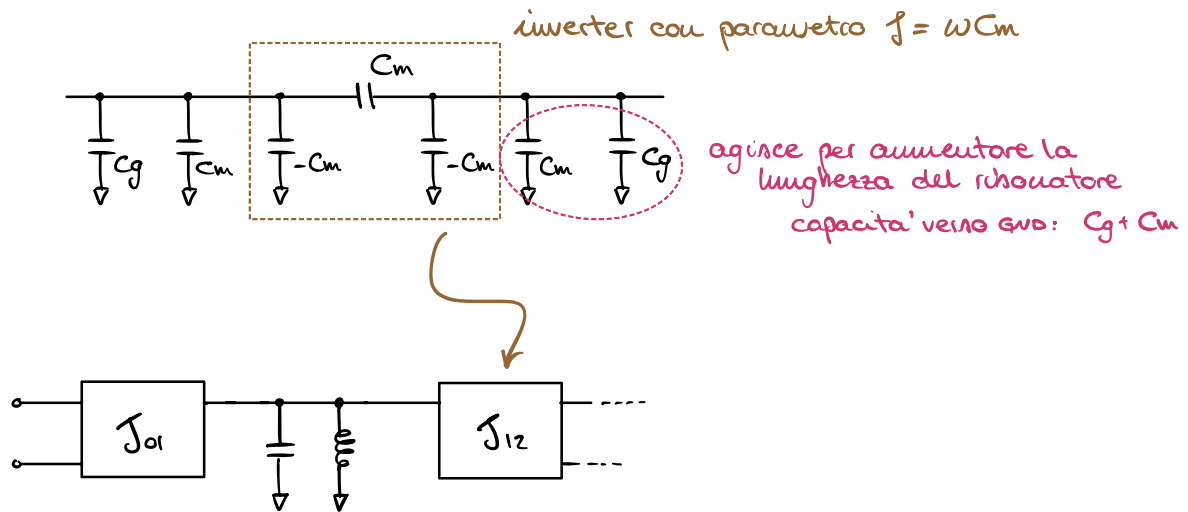


→ un filtro che sfrutta questo concetto è l' **end-coupled resonator filter**:

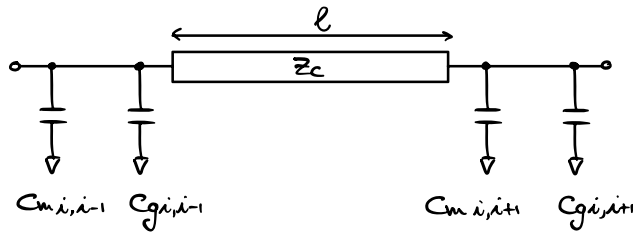


→ insomma... meglio variarlo un poco:





⇒ quello che ho e':

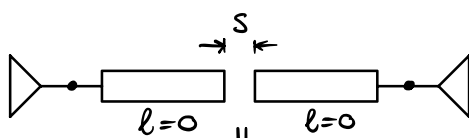


→ voglio trovare  $s$  e  $\ell$

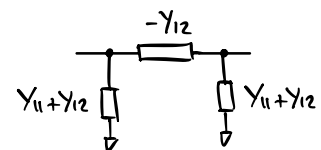
**N.B.:** i parametri sono legati perché variando  $\ell$ , vario  $C_g$  e  $C_m$  e variando  $C_g$  vario anche il risonatore oltre all'inverter

↓  
entraambi quelli interessati al gap!

La prima cosa da fare e' trovare i parametri di scattering tramite la **even-odd mode analysis**



calcolo l'ammettezza  $\begin{bmatrix} Y_{11} & Y_{12} \\ Y_{21} & Y_{22} \end{bmatrix}$



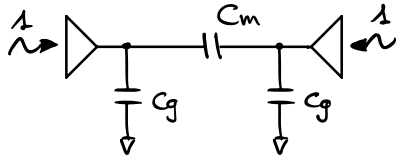
$$\begin{cases} -Y_{12} = j\omega C_m \\ Y_{11} + Y_{12} = j\omega C_g \end{cases} \Rightarrow \begin{cases} C_m = j \frac{Y_{12}}{\omega_0} \\ C_g = \dots \end{cases}$$

⇒  $J = \omega_0 C_m = -B_{12} \Rightarrow$  trovo il valore di  $C_m$  che mi fornisce il giusto inverter

⇒ la stessa cosa faccio con  $C_g$

⇒ posso procedere come segue

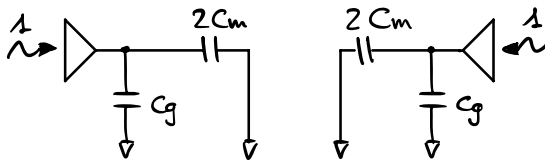
Se la struttura e' eccitata da una eccitazione uniforme, nella capacita' reciproca non c'e' caduta di tensione, quindi il coefficiente di riflessione del modo pari e' dovuto solo a  $C_g$ :



$$S_{even} = S_{11} + S_{12} = \frac{\frac{1}{j\omega C_g} - Z_c}{\frac{1}{j\omega C_g} + Z_c}$$

$$\Rightarrow \frac{1}{j\omega C_g} = Z_c \frac{1 + S_{even}}{1 - S_{even}}$$

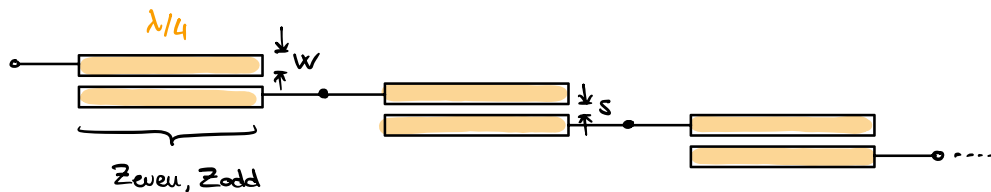
Per trovare  $C_m$  eccito la struttura in modo dispari: in tal caso la capacita'  $C_m$  puo' essere divisa in una serie di due capacita'  $2C_m$  con punto centrale verso a ground



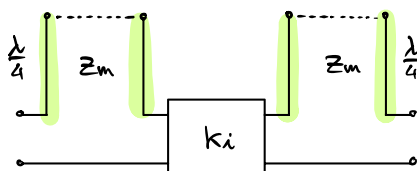
$$S_{odd} = S_{11} - S_{12}$$

$$\Rightarrow \frac{1}{j\omega C_g + j\omega 2C_m} = Z_c \frac{1 + S_{odd}}{1 - S_{odd}}$$

Un'altra tipologia di filtri e' detta **edge-coupled microwave filter** e sono formati da sezioni di linea accoppiate che realizzano invertitori e risuonatori; lo schema e' il seguente:



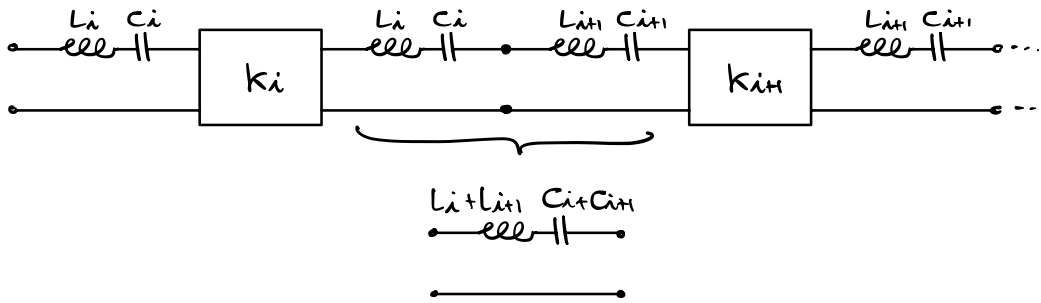
- il progetto deve valutare i valori di  $w$  e  $s$  da usare per il filtro richiesto
- il circuito equivalente di una sezione e':



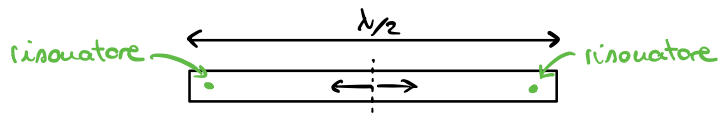
$$Z_m = \frac{Z_{even} + Z_{odd}}{2} \approx Z_c$$

↑ impedenze caratteristiche di modi pari e dispari delle linee accoppiate

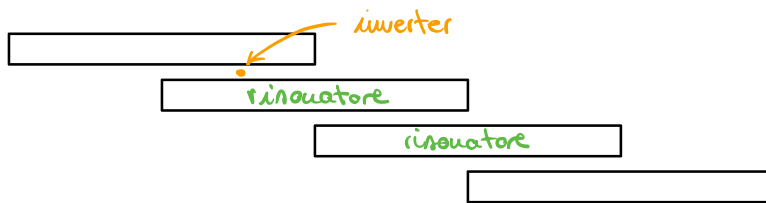
$$k = \frac{Z_{even} - Z_{odd}}{2}$$



per ciascuna sezione di linee accoppiate c'è un **risuonatore aggiuntivo** collegato all'ingresso e all'uscita

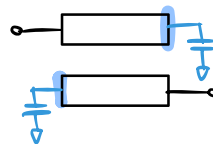


⇒ vedo due risuonatori

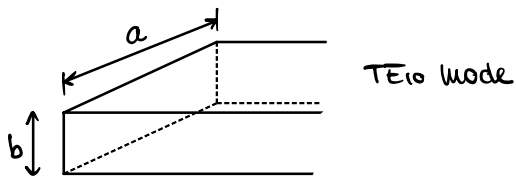


→ semplicemente, posso trascurare la sua presenza e poi **correggere la progettazione** mediante una "post-elaborazione".

→ inoltre ho i soliti effetti capacitivi

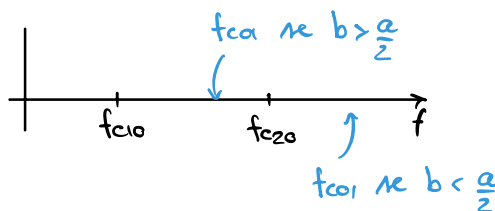
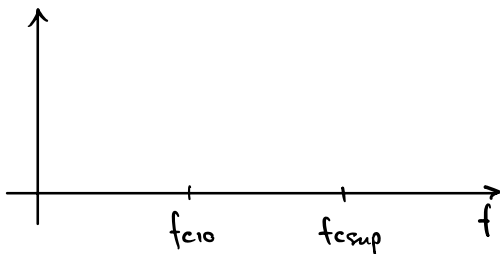


# FILTRI A GUIDA D'ONDA



$$\left. \begin{array}{l} TE_{01} \quad b \geq \frac{a}{2} \\ TE_{20} \quad b < \frac{a}{2} \end{array} \right\} \text{ di solito } b = \frac{a}{2}$$

$\Rightarrow f_{c,mp} = 2 f_{c10}$   
per massimizzare la banda

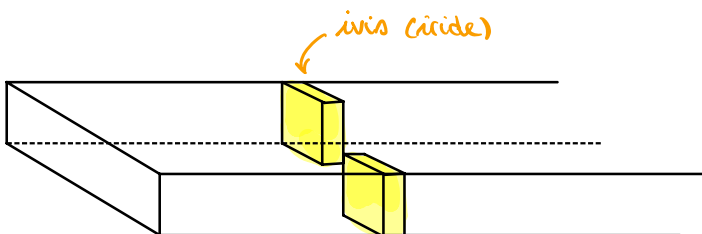


→ le perdite dipendono da  $b$  (maggiore è  $b$ , minore sono le perdite)

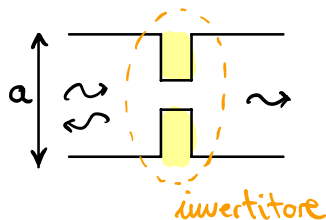
fissiamo  $b = \frac{a}{2}$ , e quindi  $f_{c, sup} = 2 f_{c10}$ , allora ho che  $f_0$ , freq. centrale tra  $f_{c10}$  e  $f_{c, sup}$  vale:

$$f_0 \approx \frac{3}{2} f_{c10} = \frac{3}{2} \cdot \frac{v}{2a} \Rightarrow a = \frac{4f_0}{3v}$$

consideriamo una struttura che riflette l'onda e un'annola come un invertitore (in questo caso sulla guida d'onda)



dall'alto:



→ per conoscere i valori progettuali dell' invertitore bisogna fare una simulazione EM per l'iris

Facciamo un richiamo sulle equazioni base sulla **propagazione nelle guide d'onda rettangolari**:

→ ho un modo dominante: il  $TE_{10}$

→ la costante di propagazione vale

$$\beta = k \sqrt{1 - \left(\frac{f_c}{f}\right)^2} = kF$$

dove ho che:  $k = \frac{\omega}{v}$

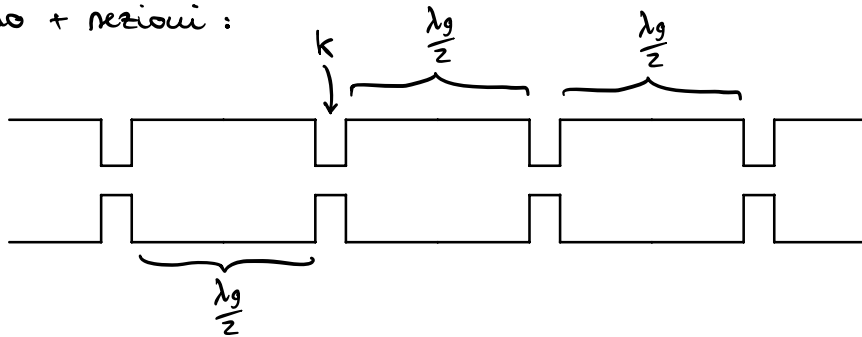
$f_c = \frac{v}{2a}$  e' la frequenza di taglio della guida rettangolare

$$v = \frac{1}{\sqrt{\mu\epsilon}}$$

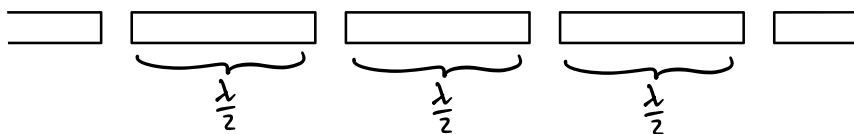
→ il **waveguide factor** e' definito come:  $F = \sqrt{1 - \left(\frac{f_c}{f}\right)^2}$

→ la lunghezza d'onda nella guida e'  $\lambda_g = \frac{\lambda}{F}$  e quindi  $\lambda_g > \lambda$

Considerando + sezioni:



che e' equivalente alla microstriscia:

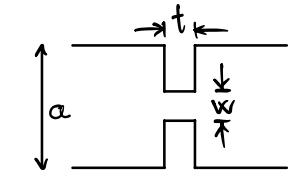


e quindi a un circuito del seguente tipo:



**N.B.:** visto che l'iris agisce come un **quasi cortocircuito**, allora il circuito che devo utilizzare e' quello con tutti gli elementi in serie +  $k$  (e non quello con  $f$ )

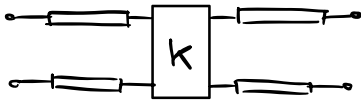
Adesso bisogna trovare i parametri di scattering dell'iris ( $S_{11}$  e  $S_{21}$ ):



ho che  $k < 1$  e che

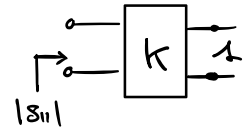
$$|S_{11}| = \left| \frac{k^2 - 1}{k^2 + 1} \right|$$

$$S_{11} = -|S_{11}|$$

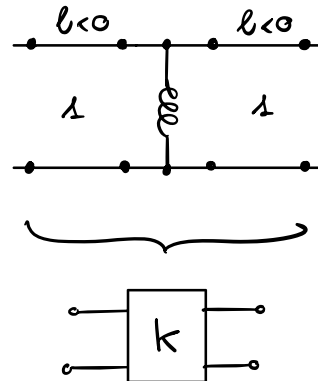
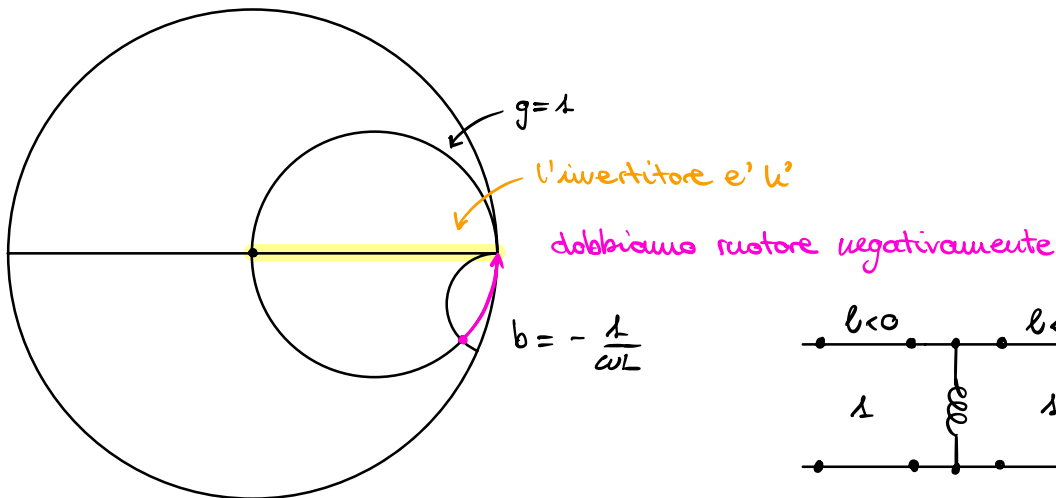


da cui ricavo che

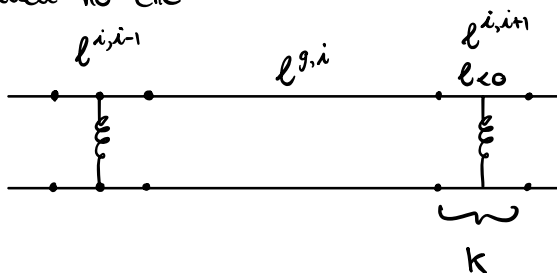
$$k = \sqrt{\frac{1 - |S_{11}|}{1 + |S_{11}|}}$$



usiamo la carta di Smith:



e quindi ho che



Quindi per una guida d'onda di lunghezza  $l_g$  con due irises ai termini avrò:

$$l_{g,i} + l_{g,o} + l_{g,i-1} = \frac{l_g}{2}$$

Per trovare i valori dell'iride dobbiamo simulare:

$$L_{eq} = \frac{1}{2} \frac{dX}{d\omega} = \frac{1}{2} \frac{d}{d\omega} \left( \tan \frac{\omega l}{v} \right) = \frac{1}{2} \frac{1}{\cos^2 \beta l} \left( \frac{Fl}{v} + \frac{\omega l}{v} \cdot \frac{dF}{d\omega} \right) \Big|_{\omega_0} = \frac{l}{2vF_0}$$

Come step finale dobbiamo trovare i parametri di slope del risonatore in serie:

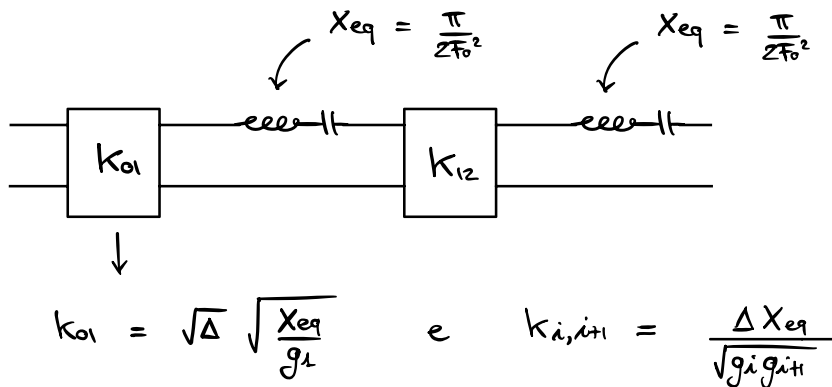
$$Z = j \tan \beta l = j X_{in} \quad \text{e' l'impedenza d'ingresso normalizzata}$$

$$\Rightarrow L_{eq} = \frac{1}{4f_0 F_0^2}$$

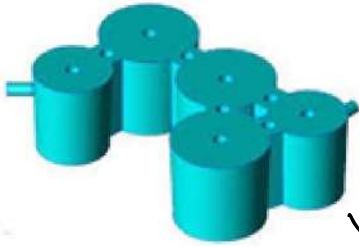
$$\Rightarrow X_{eq} = \omega_0 L_{eq} = \frac{\pi}{2F_0^2}$$

puo' essere anche scritto come  $L_{eq} = \frac{(\lambda_{g0})^2}{4f_0}$

e com' ho tutto per il design del filtro



## RISONATORI CILINDRICI



→ sono detti **FILTRI A CAVITA'** e vengono usati nella parte più alta dello spettro delle microonde perché hanno  $Q$  molto buono e basse perdite

↪ in questo filtro le cavità (vuote) sono accoppiate da piccole aperture sulle pareti laterali

↳ svolgono il ruolo di INVERTER

Per questo genere di filtri usiamo un approccio più generale che si basa sul concetto di coefficiente di accoppiamento:

ipotizziamo un insieme di cavità con frequenza angolare di risonanza  $\omega_0$  e scriviamo le equazioni ottenute precedentemente dal prototipo para-banda:

$$J_{0,1} = \sqrt{\frac{\Delta\sigma B_{eq,1}}{g_0 g_1}} \quad \text{con } B_{eq} = \omega_0 C_{eq}$$

$$J_{i,i+1} = \Delta\sigma \sqrt{\frac{B_{eq,i} B_{eq,i+1}}{g_i g_{i+1}}} \quad i = 1, \dots, N-1$$

$$J_{N,N+1} = \sqrt{\frac{\Delta\sigma B_{eq,N}}{g_N g_{N+1}}} \quad (\text{i parametri sono tutti normalizzati})$$

→ introduciamo il **coupling coefficient**  $K_{i,i+1}$  tra il risonatore  $i$  e  $i+1$ :

$$K_{i,i+1} = \frac{J_{i,i+1}}{B_{eq}} = \frac{J_{i,i+1}}{\omega_0 C_{eq}}$$

→ è un numero puro e ci permette di semplificare la descrizione nel caso di  $n$  risonatori...

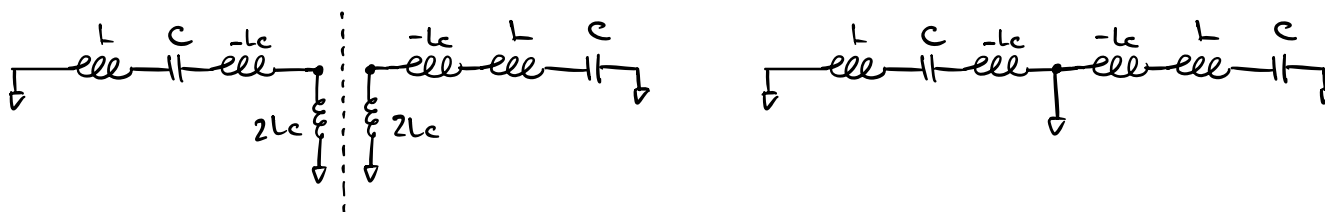
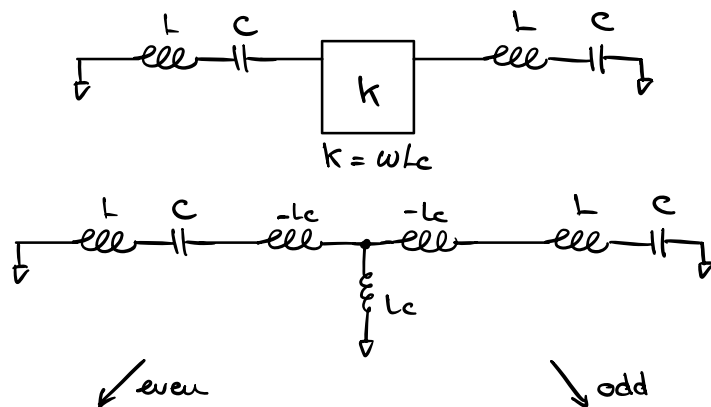
oppure, usando un prototipo para-banda all-series:

$$K_{i,i+1} = \frac{K_{i,i+1}}{g_i} = \frac{K_{i,i+1}}{\omega_0 C_{eq}}$$

↓  
inoltre è **indipendente dall'alimentazione**

esso è una misura di quanto i due risonatori sono accoppiati fra loro

Consideriamo un circuito con due coupled resonators:



se  $k = 0$  (non abbiamo accoppiamento) allora  $f_0 = \frac{1}{2\pi\sqrt{LC}}$

se  $k \neq 0$  allora dobbiamo fare un'analisi dei modi dispari e pari:

$$f_{\text{even}} = \frac{1}{2\pi\sqrt{(L+L_c)C}} \quad \begin{matrix} L_c > 0 \\ \downarrow \\ < f_0 \end{matrix} \quad f_{\text{odd}} = \frac{1}{2\pi\sqrt{(L-L_c)C}} \quad \begin{matrix} L_c > 0 \\ \downarrow \\ > f_0 \end{matrix}$$

usando la definizione posso calcolare  $k$ :

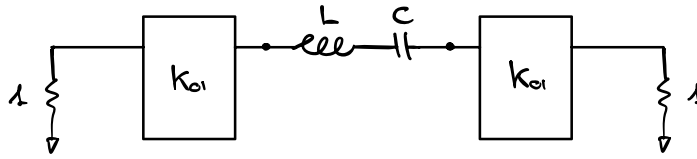
$$k = \frac{K}{\omega_0 L} = \frac{L_c}{L} = \dots = \frac{f_{\text{even}}^2 - f_{\text{odd}}^2}{f_{\text{even}}^2 + f_{\text{odd}}^2}$$

e da qui ottengo che:

$$K_{i,i+1} = \left( \frac{f_{\text{even}}^2 - f_{\text{odd}}^2}{f_{\text{even}}^2 + f_{\text{odd}}^2} \right)_{i,i+1} = \frac{\Delta f}{\sqrt{g_i g_{i+1}}}$$

→ avrei ottenuto lo stesso risultato considerando il circuito shunt

Rimane da capire il comportamento dell'accoppiamento INPUT/OUTPUT e studiamo il circuito equivalente (sono dei trasformatori):



ho che:

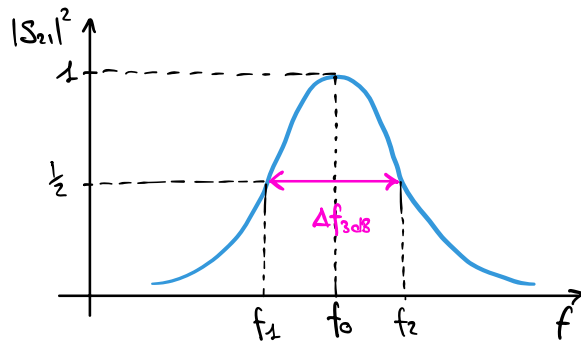
$$Q_L = \frac{\omega_0 L}{2k_{01}^2} = \frac{f_0}{\Delta f_{3dB}}$$

$$\Rightarrow k_{01}^2 = \frac{\omega_0 L}{2f_0} \Delta f_{3dB}$$

$$k_{01} = \sqrt{\frac{\Delta f \cdot \omega_0 L}{g_0 g_1}}$$

$$\frac{\Delta f \cdot \omega_0 L}{g_0 g_1} = \frac{\omega_0 L}{2f_0} \Delta f_{3dB} \Rightarrow$$

$$\frac{\Delta f_{3dB}}{2f_0} = \frac{\Delta f}{g_0 g_1}$$

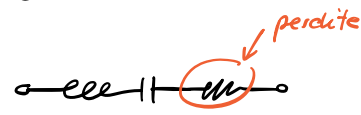


e' un metodo iterativo! { questi parametri di design li trovo dalla simulazione EM che mi fornisce  $|S_{21}|^2$  e quindi  $\Delta f_{3dB}$  e  $f_0$

## PERDITE

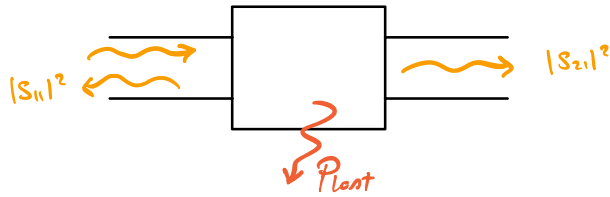
le perdite tendono ad "addolcire" la curva e quindi sono dannose per larghezze di banda relative molto piccole  $\rightarrow$  penso avere dei problemi con l'*insertion loss IL* e quindi possono "rompere" la maschera del progetto ai bordi della banda

Consideriamo il fattore di qualita'  $Q = \omega \frac{L}{R}$

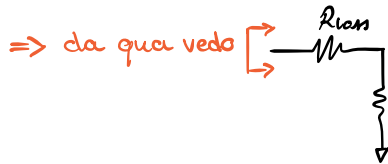


$\rightarrow$  dispositivo LOSSLESS:  $|S_{21}|^2 = 1 - |S_{11}|^2$

$\rightarrow$  dispositivo LOSSY:  $|S_{21}|^2 < 1 - |S_{11}|^2$



→ minore e' la banda e maggiori sono le perdite perche?



$$\Rightarrow k \sqrt{\Delta \Gamma}$$

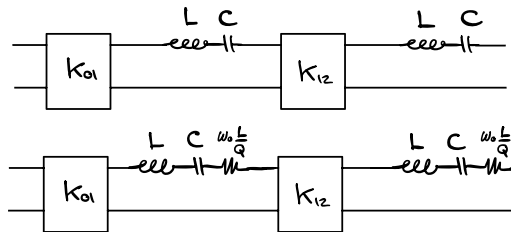
↓  
minore e' la banda minore e' k e  
minore e' la resistenza

⇒ Rloss ha + impatto sulla serie se la banda e' piccola!

ad esempio potrei avere:

- RL > 18 dB
- IL < 1 dB in banda

e conosco il filtro (mezza perdite):



$$Q = \omega \frac{L}{R} \Rightarrow R = \omega \frac{L}{Q}$$

↙ se non rispetto IL devo

aumentare il fattore di qualita' ⇒ questo ha un impatto sul filtro che scelgo

- TX-LINE RESONATORS hanno  $Q = 50 \div 500$  → molto ottimistico
- WAVEGUIDES hanno Q nell'ordine di alcune migliaia
- CAVITY RESONATORS hanno Q nell'ordine di decine di migliaia